

**A DETERMINAÇÃO DA RADIAÇÃO SOLAR GLOBAL DIÁRIA
ATRAVÉS DOS DADOS DE INSOLAÇÃO E TRANSMISSIVIDADE
ATMOSFÉRICA ESTIMADA**

Francisco do Carmo Filho

Orientador : **Nilson Augusto Villa Nova**

Dissertação apresentada à Escola Superior de
Agricultura "Luiz de Queiroz", da Universidade de
São Paulo, para obtenção do Título de Mestre em
Agrometeorologia.

PIRACICABA
Estado de São Paulo - Brasil
Fevereiro, 1981

A

minha mãe (in memoriam)

D E D I C O

A

meu pai e irmãos

O F E R E Ç O

AGRADECIMENTOS

O autor expressa os mais sinceros agradecimentos:

- AO Prof. Dr. Nilson Augusto Villa Nova, pela sua valiosa orientação, críticas e sugestões apresentadas neste trabalho, além da amizade e colaboração durante todo o curso;
- À Escola Superior de Agricultura de Mossoró (ESAM), pela oportunidade oferecida para minha capacitação;
- À Coordenação do Aperfeiçoamento de Pessoal de Nível Superior (CAPES), através do PICD, pela concessão de bolsa;
- AO Departamento de Física e Meteorologia, da Escola Superior de Agricultura "Luiz de Queiroz" da Universidade de São Paulo;
- AOS demais Professores deste e de outros Departamentos da E. S. A. "Luiz de Queiroz", que contribuíram para a minha formação;
- A Eng^a -Agr^a Clarice Garcia Borges Demétrio, Professora do Departamento de Matemática e Estatística da E.S.A. "Luiz de Queiroz", pela colaboração nas análises dos dados;
- AOS Engenheiros-Agrônomos Carlos Ramires Franco da Encarnação; Miguel Angelo Maniero e Norberto Vilas Boas da Silva, pelo incentivo e amizade;

AOS demais colegas do curso, que comigo conviveram nesta fase;

ÀS funcionárias, Áurea Benedita Michelotto e Ana Maria da Silva, respectivamente Secretária e Escriturária do Departamento de Física e Meteorologia da E.S.A. "Luiz de Queiroz", pela presteza e colaboração durante o curso;

AOS demais funcionários deste e de outros Departamentos da E. S. A. "Luiz de Queiroz", que de algum modo contribuíram para a realização deste trabalho;

AOS colegas de república, pela convivência e amizade durante este período;

E a todos que, direta ou indiretamente, contribuíram para a realização deste trabalho.

Í N D I C E

	Pág.
RESUMO	viii
SUMMARY	x
1 - INTRODUÇÃO	1
2 - REVISÃO DE LITERATURA	3
3 - MATERIAL E MÉTODOS	8
3.1. Material	8
3.1.1. Dados coletados de Piracicaba, SP	8
3.1.1.1. Radiação solar	8
3.1.1.2. Horas de insolação	9
3.1.1.3. Fotoperíodo	9
3.1.1.4. Radiação extra-terrestre	9
3.1.2. Dados coletados de Manaus, AM	9
3.1.2.1. Radiação solar global	9
3.1.2.2. Horas de insolação	10
3.1.2.3. Fotoperíodo	10
3.1.2.4. Radiação extra-terrestre	10
3.2. Método	10
3.2.1. A estimativa da radiação solar em dia claro	10
3.2.1.1. A equação geral de transmissão	11
3.2.1.2. Coeficiente médio de transmis- são da radiação solar global..	11

3.2.1.3. Equações para estimativa do ângulo zenital horário (z_t) ..	12
3.2.1.4. Equações de estimativas pro- postas	14
3.2.2. A estimativa da radiação solar difusa transmitida pelas nuvens	19
3.2.2.1. A definição do valor de P ...	19
3.2.2.2. Consideração sobre o valor \bar{P} .	20
3.2.2.3. A equação geral de estimativa da radiação difusa transmiti- da pelas nuvens	20
3.2.3. A equação geral de estimativa da <u>radia-</u> <u>ção global ao nível do solo (Q_h)</u>	21
3.2.4. Métodos de comparação	21
3.2.4.1. Método de OMETTO (1968)	21
3.2.4.2. Método de RIBEIRO et alii (1978)	22
4 - RESULTADOS OBTIDOS	24
4.1. Para a região de Piracicaba, SP	24
4.1.1. Relativos à estimativa da radiação glo- bal de dias claros ao nível do solo (Q_D)	24
4.1.2. Relativos à estimativa do valor Q'_d ...	24
4.1.3. Relativos à estimativa do valor P	25
4.1.4. Relativos à insolação horária (N)	25
4.1.5. Relativos à estimativa do valor Q_d ...	25

4.1.6. Relativos à estimativa da radiação solar global calculada pelo método proposto (Q_h)	25
4.1.7. Relativos à radiação estimada pelo método de OMETTO (1968) (Q_j)	26
4.2. Para a região de Manaus, AM	26
4.2.1. Relativos à estimativa da radiação global de dias claros ao nível do solo (Q_D)	26
4.2.2. Relativos à estimativa do valor Q'_d ...	26
4.2.3. Relativos à estimativa do valor P	27
4.2.4. Relativos à insolação horária (N)	27
4.2.5. Relativos à estimativa do valor Q_d ...	27
4.2.6. Relativos à estimativa da radiação solar global calculada pelo método proposto (Q_h)	27
4.2.7. Relativos à radiação estimada pelo método de RIBEIRO et alii (1980) (Q_n) ..	28
5 - DISCUSSÃO DOS RESULTADOS	29
5.1. Relativos às estimativas da radiação solar pelo Método Proposto	29
5.1.1. Para a região de Piracicaba, SP	29
5.1.2. Para a região de Manaus, AM	30
5.1.3. Considerações gerais	31
6 - CONCLUSÕES	33

Pág.

7 - LITERATURA CITADA	35
8 - APÊNDICE	42

A DETERMINAÇÃO DA RADIAÇÃO SOLAR GLOBAL DIÁRIA ATRAVÉS DOS DADOS DE INSOLAÇÃO E TRANSMISSIVIDADE ATMOSFÉRICA ESTIMADA

Francisco do Carmo Filho

Nilson Augusto Villa Nova
Orientador

R E S U M O

O presente trabalho trata do desenvolvimento de um processo de estimativa de radiação solar global através dos registros de insolação obtidos pelo heliógrafo tipo Campbell-Stokes. O processo de estimativa desenvolvido difere do convencional posto que integra hora a hora a radiação solar, admitindo um coeficiente de transmissão de radiação global para dias limpos, e determinando por um balanço de energia um valor médio mensal de transmissividade da cobertura de nuvens. Para o desenvolvimento do método são utilizados dados de radiação solar global medido pelo Piranômetro Eppley padrão em dois locais de distinto regime de nebulosidade: Piracicaba, Estado de São Paulo e Manaus, Estado do Amazonas.

Como resultado final obteve-se a equação geral de estimativa, que é representada em cada mês e local por valores específicos de seus parâmetros:

$$Q_h = \sum_k \left[I_0 (0,77)^{1/(a' + b' \cos h_t)} \cdot (a' + b' \cdot \cos h_t) \cdot [n_k + \bar{n} (60 - n_k)] \right]$$

k varia desde a hora do nascer até a hora do pôr do sol.

onde:

n_k = número de minutos de insolação durante uma hora, no período das K até $K + 1$ horas e

$$t = \frac{2k + 1}{2}$$

Q_h = radiação global estimada ao nível do solo (cal.cm^{-2})

I_0 = valor específico da constante solar. (função do mês, $\text{cal.cm}^{-2}.\text{min}^{-1}$);

a' e b' = constante predeterminadas (função do mês e latitude)

h_t = ângulo horário médio (função da hora do dia);

P = valor médio da porcentagem de energia transmitida pelas nuvens.

Testando o método proposto contra a radiação medida pelo Piranômetro Eppley e estimado pelo convencional observou-se uma correlação positiva, significativa pelo teste t , ao nível de 1% de probabilidade para ambos os locais estudados. Isto demonstra que o método proposto é viável, otimizando os resultados em condições de alta e moderada insolação.

Paralelamente, através do método desenvolvido sugere-se um processo de estimativa de energia pelo sistema de cobertura de nuvens, como um todo ao longo do dia. Por outro lado para que se conheçam com mais detalhes as prováveis limitações existentes, novas correlações entre os métodos deverão ser feitas com um maior número de dados.

DETERMINATION OF DAILY GLOBAL SOLAR RADIATION THROUGH INSOLATION AND ESTIMATED ATMOSPHERIC TRANSMISSIVITY DATA

Francisco do Carmo Filho

Dr. Nilson A. Villa Nova
Advisor

S U M M A R Y

The present work deals with the development of a process for estimating solar radiation through insolation recording one a Campbell-Stokes heliograph. This process differs from the traditional on in that it integrates the solar radiation hour by hour, admitting a global radiation transmission coefficient for clear days and determining, by energy balance, a monthly mean value for transmissivity of cloud cover. The global solar radiation data utilized to develop this method were measured with a standard Eppley pyranometer at Piracicaba, SP and Manaus, AM , two sites of different cloud regimes.

As a final result, a general estimating equation was obtained, the parameters of which are represented by specific values for each month and site:

$$Q_h = \sum_k \left[[I_0 \cdot (0,77)^{1/(a' + b' \cos h_t)} \cdot (a' + b' \cos h_t)] \cdot [n_k + \bar{n} (60 - n_k)] \right]$$

where:

n_k = number of minutes of insolation during one hour, in
the periods from K to $K + 1$ hours and

$$t = \frac{2K + 1}{2}$$

Q_h = global radiation estimated at ground level
(cal.cm⁻²)

I_0 = solar constant specific value (as a function of month) (cal.cm⁻².min⁻¹)

a' and b' = predetermined constants (as a function of month, la
titude and time of day);

h_t = mean hour angle (as a function of time of day);

\bar{P} = mean percentage value of energy transmitted by
clouds.

Checking the method against the radiation measured with an Eppley pyranometer and estimated by the traditional method, a positive correlation was found, t-test significant at the level of 1% probability for both sites studied. This demonstrates that the method proposed by the author is viable, optimizing the results under conditions of high and moderate insolation.

Simultaneously, through the method developed, a process is suggested for estimating energy by the cloud cover system, as a whole throughout the day. On the other hand, in order to know in greater detail the likely existing limita -

tions, new correlations between the methods must be found , using a greater number of data.

1 - INTRODUÇÃO

Com a crescente escassez e alto custo decorrente dos combustíveis fósseis, a humanidade volta-se para o aproveitamento cada vez maior das fontes não convencionais de energia. Entre elas destaca-se como uma das principais a energia solar, objeto de pesquisas cada vez mais intensas. Assim é que neste século se aceleram os estudos sobre todas as formas de captura possível, tais como biomassa ou fixação por vegetais, captura por coletores para geração de eletricidade, aquecimento, secagem, ciclos motores, etc.

Para que se possa realizar um bom aproveitamento de energia solar nas suas várias formas, é necessário, antes de tudo, o conhecimento do potencial disponível, variável em função de latitude, época do ano, nebulosidade, etc. Para estimativa deste potencial usam-se as medidas diretas realizadas na maioria dos casos no Brasil por actinôgrafos bimetálicos tipo Robitzsch, nem sempre confiáveis por falta de calibração periódica, ou por piranômetro tipo Eppley, aparelhos de grande precisão que só agora começam a ser instalados em

rede, por esforços do INEMET. Fora destas medidas encontram-se os métodos clássicos de estimativas, situando-se como de uso principal aquele derivado por Angstrom (1924), citado por BLACK et alii (1954) e adaptado para as condições brasileiras. Tal método, que constitui basicamente um estudo de regressão linear entre a fração da energia extra-terrestre que atinge o solo (Q/Q_0) e a razão de insolação (n/N), embora passível de muitas críticas, é frequentemente utilizado, com bons resultados dentro das aproximações permitidas.

No presente trabalho estudou-se uma nova perspectiva de utilização do heliógrafo convencional na avaliação da radiação solar global, determinando a energia correspondente-a cada hora através da admissão de um coeficiente de transmissão médio do valor médio mensal do ângulo zenital horário, e de porcentagens de radiação transmitida pela cobertura de nuvens presentes, sendo que, para a calibração do método são utilizados dados de radiação solar global, obtidos através de Piranômetro Eppley.

2 - REVISÃO DE LITERATURA

A crescente necessidade de um aproveitamento mais intenso e mais racional da energia solar, levaram o homem à preocupação de conhecer com maior nível de detalhe as disponibilidades de energia solar de cada local. Para este fim, é óbvio que redes actinométricas de boa precisão deveriam ser montadas. É também óbvio que para grandes extensões territoriais, e devido ao alto custo destes equipamentos, na maioria dos casos tal projeto é inviável. Procura então o pesquisador soluções de baixo custo para o problema que são conduzidas procurando-se substituir estas medidas diretas por processos de estimativa. Entre os inúmeros métodos sugeridos, subsistem aqueles que nos proporcionam aproximações razoáveis sem custo muito elevado.

Neste sentido, uma das primeiras proposições de estimativa de radiação solar global, refere-se à utilização do heliógrafo convencional, e foi sugerida por Angstrom (1924) citado por BLACK et alii (1954), que se constitui da seguinte correlação linear.

$$Q_g = Q_0 \left[a' + (1,00 - a') \frac{n}{N} \right] \quad (1)$$

onde:

Q_g = radiação solar global recebida em uma superfície horizontal ao nível do solo;

Q_0 = radiação solar global recebida em uma superfície horizontal ao nível do solo, em um dia aproximadamente limpo (sem nuvens);

n = total de horas de insolação obtidos pelos registros do heliógrafo Campbell-Stokes;

N = duração máxima possível da insolação, em horas;

a' = proporção média de radiação solar recebida em um dia completamente coberto por nuvens.

O valor de a' varia diariamente e depende da densidade e tipo de nuvens. O valor médio de a' , proposto por Ångstrom (1924), foi de 0,25 e o mesmo valor, proposto por Kimball e Hand (1936), foi de 0,22.

A partir de então, inúmeros pesquisadores têm adotado este modelo de estimativa. Entre eles, inicialmente destacam-se PRESCOTT (1940) e PENMAN (1948), que modificaram a fórmula original substituindo o parâmetro Q_0 por Q_A , radiação solar teórica recebida no topo da atmosfera:

$$Q_g = Q_A (a + b n/N) \quad (2)$$

onde:

Q_A = radiação solar total recebida na superfície do solo,

admitindo-se a atmosfera perfeitamente transparente (valor Angot).

a e b = parâmetros obtidos através da regressão linear adequada à cada série de dados.

Tal valor estimado entre outros por PEREIRA (1971), representa a energia recebida ao nível do solo, em superfície horizontal, considerando-se uma atmosfera de 100% de transmissividade. Sucederam-se, então várias pesquisas sobre este modelo, tais como GLOVER e McCULLOCH (1958); SMITH (1959); SIEN (1969); BRIEDGER e CATCHPOLE (1970); SELIRIO et alii (1971); CATSOULIS (1975); ABBAS e EL-NESR (1977); BRIMCHAMBAUT (1978); ALMANZA e LÓPES (1978).

Tal metodologia tem sido também largamente utilizada por pesquisadores nacionais. Assim é que CERVELLINI et alii (1966) com informações da rede actinométrica do Instituto Agronômico de Campinas (IAC), propuseram equações de estimativa para 6 regiões do Estado de São Paulo. Da mesma maneira OMETTO (1968) propõe a utilização do método para as condições típicas de Piracicaba, SP, LOPES et alii (1971) para o Rio Grande do Sul e, MOTA e BEIRSDORF (1971) para o Estado de Santa Catarina. Do mesmo modo, REIS et alii (1973) e SÁ (1973) propõem o mesmo tipo de equações para as regiões de Recife, PE e Mandacaru, BA, respectivamente.

Analizando uma série de dados mais recentes da região de Botucatu, SP, TUBELIS et alii (1977) determinaram boa significância entre estimativas e medidas, o mesmo ocorrendo com RIBEIRO et alii (1980), para a região de Manaus, AM. Trabalhando com dados de cerca de 90 estações actinométricas do

Brasil, RIBEIRO et alii (1980) definiu os prováveis valores dos parâmetros a e b para estes locais.

A radiação global em dias claros é dependente da energia extra-terrestre, da turbidez atmosférica representada pelo coeficiente de transmissão e do número de massas óticas atravessadas pelo feixe de radiação. Uma estimativa de um "coeficiente médio" de transmissão de radiação global foi realizada por OCCHIPINTI (1966) na região de Cananéia, SP, determinando um valor médio de 0,78 para o mês de junho. Para o mesmo mês, utilizando idêntica metodologia, VILLA NOVA et alii (1973) determinaram como 0,85 o valor deste coeficiente para Piracicaba, SP, enquanto que para Manaus, AM este valor foi de 0,81, segundo VILLA NOVA et alii (1976).

Analizando a variação aspectral deste coeficiente, em Manaus, AM, ALMEIDA et alii (1979), determinaram valores oscilando entre 0,58 e 0,67 (faixa do violeta-azul), 0,78 a 0,86 (verde-amarelo), 0,66 a 0,75 para o infra-vermelho e 0,66 a 0,75 (radiação total).

De acordo com LAEVASTU (1960), um dos primeiros métodos de estimativa de radiação solar em dias claros deve-se a KIMBALL (1928), que computou totais diários de radiação para o hemisfério norte, entre latitudes de 90° e 60° , dados estes utilizados por muitos autores em estudos de balanço de energia. Segundo o mesmo autor, MOSBY (1936); SVERDRUP (1945) e JACOBS (1951), adaptaram o método de KIMBALL (1936) para condições de insolação variável. É devido a LAEVASTU (1960), uma das primeiras aproximações para estimativa de energia solar em base diária, levando em conta a turbidez atmosférica e constantes astronômicas. Estimativas deste tipo, determinadas

por MONTEITH (1962), revelaram-se consistentes para dias claros de verão, no sul da Inglaterra. Em situações com dias com nebulosidade, os trabalhos desenvolvidos para estimativas apoiam-se em cálculos de transmissividade determinados por modelos teóricos como os de DANIELSON et alii (1969); DAVE e BRASLAU (1974); TWOMEY (1976); LIOU (1976) e HOYT (1978); ou, por medidas diretas, como aquelas realizadas por VOWINCKEL e ORVIG (1962), que mediu a transmitância de oito classes de nuvens para quatorze situações de altitude solar, encontrando valores na faixa de 20 a 40% da radiação incidente no topo da nuvem. Analisando várias classes de nuvens em diferentes períodos diários, OMETTO (1973) determinou valores médios da fração da energia extra-terrestre transmitida, em condições com predominância de Cirrus, Cumulus, Stratus e Stratocumulus. SCKLING e HAY (1977), adaptando um modelo proposto por DAVIES et alii (1975), desenvolveram o método denominado CLS (Cloud-Layer Sunshine), no qual relaciona-se hora por hora a energia transmitida em céu aberto, com fatores de transmissão dependentes do tipo e espessura de nuvem.

Analogamente, BOLSENGA (1978) apresenta um método de estimativa de valores mensais de radiação solar global, através da combinação de cálculos para dias claros, e equações empíricas relacionando nebulosidade com radiação global.

3 - MATERIAL E METODOS

3.1. MATERIAL

3.1.1. Dados Coletados de Piracicaba, SP.

O material do presente trabalho foi coletado por SALATI et alii (1966), no Departamento de Física e Meteorologia da Escola Superior de Agricultura "Luiz de Queiroz", da Universidade de São Paulo, situada em Piracicaba, SP, localidade que apresenta as seguintes coordenadas geográficas:

Latitude: $22^{\circ}42'30''$ S

Longitude: $47^{\circ}38'00''$ W

Altitude: 576 metros.

3.1.1.1. Radiação Solar global

A radiação solar global (Q_e) foi medida através de um Piranômetro Eppley de dez junções, nº 2.879, com uma resposta de $2,34 \text{ cal.cm}^{-2}.\text{min}^{-1}$. Foram utilizados três diferentes potenciôgrafos "Philips" de um só ponto tipo PR 4.060 m/01, potenciôgrafo "Philips" de doze pontos tipo PR 4069 n/00 e um potenciôgrafo de um só ponto "Leeds & Northrup" tipo G (SALATI et alii, 1966).

3.1.1.2. Horas de insolação

A insolação horária (n) foi obtida junto ao arquivo do Departamento de Física e Meteorologia da E.S.A. "Luiz de Queiroz". Os números de minutos dentro da hora foi estimado de acordo com VAREJÃO-SILVA (1974).

3.1.1.3. Fotoperíodo

O fotoperíodo (N), função do mês, e latitude foram interpolados das tabelas apresentadas por CAMARGO (1961).

3.1.1.4. Radiação extra-terrestre

A radiação extra-terrestre (Q_0) utilizada foi aquela determinada por SALATI et alii (1967), valor correspondente ao 15º dia de cada mês, interpolando-se a latitude considerada.

3.1.2. Dados coletados de Manaus-AM

No presente trabalho utilizaram-se dados coletados por RIBEIRO et alii (1980), nas dependências do Instituto Nacional de Pesquisa da Amazônia (INPA), situado em Manaus, AM, localidade que apresenta as seguintes coordenadas geográficas:

Latitude: $03^{\circ}08' S$

Longitude: $60^{\circ}02' W$

Altitude: 60 metros

3.1.2.1. Radiação solar global

A radiação solar global (Q_e) foi medida ao nível

do solo com um Piranômetro Eppley de dez junções acoplado a um potenciôgrafo de 0,1 mV. de precisão na Estação Radiométrica, localizada na sede do INPA. Os dados registrados no potenciôgrafo foram convertidos em calorias (constante de calibração, $2,34 \text{ mV}/\text{cal.cm}^{-2}.\text{min}^{-1}$) e depois integrado dia a dia com auxílio de um planímetro.

3.1.2.2. Horas de insolação

A insolação horária (n) foi obtida junto ao arquivo do INPA - Manaus. O número de minutos dentro da hora foi estimado de acordo com VAREJÃO-SILVA (1974).

3.1.2.3. Fotoperíodo

O fotoperíodo (N), função do mês e latitude, foi interpolado das tabelas apresentadas por CAMARGO (1961).

3.1.2.4. Radiação extra-terrestre

A radiação extra-terrestre foi aquela determinada por SALATI et alii (1967), valor correspondente ao 15º dia de cada mês interpolando-se a latitude considerada.

3.2. MÉTODO

3.2.1. A Estimativa da Radiação Solar em Dia Claro

Para a estimativa da radiação solar em dia claro utilizaram-se as equações clássicas que caracterizam a extensão do feixe radiante no seu trajeto através da atmosfera, como se segue.

3.2.1.1. A equação geral de transmissão

A intensidade do feixe radiante ao nível do solo, em dia claro, considerando-se a atmosfera um meio homogêneo de acordo com a lei geral de Beer, é dada por:

$$Q_D = I_0 \cdot m^{1/(\cos z_t)} \cdot \cos z_t \cdot n_k \quad (3)$$

onde:

Q_D = radiação global de dia claro ao nível do solo (cal.
 cm^{-2}), dentro da hora considerada;

I_0 = radiação solar no topo da atmosfera (cal. $\text{cm}^{-2} \cdot \text{mm}^{-1}$), função de declinação (δ);

(vide Tabela 45 do Apêndice);

z_t = ângulo zenital no tempo (t) considerado (valor central de cada hora, função de δ (valor do 15º dia de cada mês), e da latitude ϕ ;

n_k = número de minutos de brilho solar, dentro de cada hora considerada, estimado pelo heliógrafo;

m = coeficiente "médio" de transmissão de radiação global, variável durante o período, mas adotado como valor fixo igual a 0,77 (primeira aproximação).

3.2.1.2. Coeficiente médio de transmissão da radiação solar global (m)

É fato reconhecido que o valor de m é dependente do comprimento da onda considerado, da densidade do meio (é definido para um meio homogêneo) do tipo e quantidade de suspensões existentes na atmosfera (vapor d'água, poeira, etc). Englobando todas estas influências, alguns autores estimaram

os seguintes valores de um "coeficiente de transmissão" médio diurno:

$$\bar{m} = 0,76, \text{ OCCHIPINI (1966), para Cananéia, SP}$$

$$\bar{m} = 0,86, \text{ VILLA NOVA et alii (1973), para Piracicaba, SP}$$

$$\bar{m} = 0,80, \text{ VILLA NOVA et alii (1976), para Manaus, AM}$$

Examinando-se nestes trabalhos a variação diurna deste coeficiente, nota-se que o valor do mesmo nas horas de mais alta energia (em torno das 12:00 horas) está sempre abaixo do valor médio, com pequena variação ao longo dos meses. Neste horário em torno de $m = 0,77$, observa-se a maior frequência, razão pela qual este foi o valor adotado.

3.2.1.3. Equações para estimativa do ângulo zenithal horário (z_t)

A equação geral

$$\cos z_t = \sin \delta \cdot \sin \phi + \cos \delta \cdot \cos \phi \cdot \cos h_t \quad (4)$$

onde:

z_t = ângulo zenithal no tempo t (valor central de cada hora);

δ = declinação (valor do 15° dia de cada mês);

ϕ = latitude do local;

h_t = ângulo horário no instante considerado (valor central de cada hora).

Sendo h_t dado pela equação:

$$h_t = (12 - H) \cdot 15^{\circ} \quad (5)$$

onde:

H é a hora considerada

nos permitiu determinar o valor do cosseno do ângulo zenital ao longo do dia, mês e local considerado, obtendo-se o seguinte conjunto de equações, valores para o 15º dia de cada mês (segunda aproximação).

PARA PIRACICABA, SP:

$$\text{Janeiro: } \cos z_t = 0,128 + 0,860 \cos h_t \quad (5.1)$$

$$\text{Fevereiro: } \cos z_t = 0,087 + 0,900 \cos h_t \quad (5.2)$$

$$\text{Março: } \cos z_t = 0,017 + 0,922 \cos h_t \quad (5.3)$$

$$\text{Abril: } \cos z_t = -0,063 + 0,910 \cos h_t \quad (5.4)$$

$$\text{Maio: } \cos z_t = -0,124 + 0,874 \cos h_t \quad (5.5)$$

$$\text{Junho: } \cos z_t = -0,153 + 0,848 \cos h_t \quad (5.6)$$

$$\text{Julho: } \cos z_t = -0,143 + 0,857 \cos h_t \quad (5.7)$$

$$\text{Agosto: } \cos z_t = -0,096 + 0,894 \cos h_t \quad (5.8)$$

$$\text{Setembro: } \cos z_t = -0,023 + 0,921 \cos h_t \quad (5.9)$$

$$\text{Outubro: } \cos z_t = 0,055 + 0,913 \cos h_t \quad (5.10)$$

$$\text{Novembro: } \cos z_t = 0,123 + 0,875 \cos h_t \quad (5.11)$$

$$\text{Dezembro: } \cos z_t = 0,152 + 0,848 \cos h_t \quad (5.12)$$

PARA MANAUS, AM:

$$\text{Janeiro: } \cos z_t = 0,020 + 0,931 \cos h_t \quad (6.1)$$

$$\text{Fevereiro: } \cos z_t = 0,012 + 0,973 \cos h_t \quad (6.2)$$

$$\text{Março: } \cos z_t = 0,002 + 0,998 \cos h_t \quad (6.3)$$

$$\text{Abril: } \cos z_t = -0,009 + 0,985 \cos h_t \quad (6.4)$$

$$\text{Maio: } \cos z_t = -0,018 + 0,946 \cos h_t \quad (6.5)$$

$$\text{Junho: } \cos z_t = -0,022 + 0,917 \cos h_t \quad (6.6)$$

$$\text{Julho: } \cos z_t = -0,020 + 0,928 \cos h_t \quad (6.7)$$

$$\text{Agosto: } \cos z_t = -0,014 + 0,968 \cos h_t \quad (6.8)$$

Setembro: $\cos z_t = -0,003 + 0,997 \cos h_t$ (6.9)

Outubro: $\cos z_t = 0,008 + 0,988 \cos h_t$ (6.10)

Novembro: $\cos z_t = 0,017 + 0,947 \cos h_t$ (6.11)

Dezembro: $\cos z_t = 0,022 + 0,918 \cos h_t$ (6.12)

3.2.1.4. Equações de estimativas propostas

De acordo com as considerações anteriores, obtém-se a equação geral de estimativa de radiação solar global em dia claro para o 15º dia de cada mês.

$$Q_D = \sum_k [I_0 (0,77)^{1/(a' + b' \cos h_t)} \cdot (a' + b' \cos h_t) \cdot n_k] \quad (7)$$

onde:

k = varia da hora do nascer até a hora do pôr do sol.

n_k = número de minutos de insolação durante uma hora, no período das k até $k+1$ horas e $t = \frac{2k+1}{2}$, sendo t valor central da hora;

a' e b' = são os coeficientes das equações que se seguem, para cada mês e local considerados.

Nesta equação geral, h_t corresponde ao valor central da hora do dia considerado, variando de $(12 - N/2)$ até 12 horas no período matutino e de 12 até $(12 + N/2)$ horas no período vespertino, sendo N o comprimento do fotoperíodo total. Exemplificando o valor de h_t , no período entre 9 e 10 horas foi considerado dentro deste intervalo com o valor de 9:30 horas (vide Tabela 46 do Apêndice) (terceira aproximação).

PARA A REGIÃO DE PIRACICABA, SP:

$$\text{Janeiro: } Q_D = \sum_k [2,00 (0,77) 1/(0,128 + 0,860 \cos h_t) \cdot (0,128 + 0,860 \cos h_t) n_k] \quad (7.1)$$

$$\text{Fevereiro: } Q_D = \sum_k [1,98 (0,77) 1/(0,087 + 0,900 \cos h_t) \cdot (0,087 + 0,900 \cos h_t) n_k] \quad (7.2)$$

$$\text{Março: } Q_D = \sum_k [1,96 (0,77) 1/(0,017 + 0,922 \cos h_t) \cdot (0,017 + 0,922 \cos h_t) n_k] \quad (7.3)$$

$$\text{Abril: } Q_D = \sum_k [1,92 (0,77) 1/(-0,063 + 0,910 \cos h_t) \cdot (-0,063 + 0,910 \cos h_t) n_k] \quad (7.4)$$

$$\text{Maio: } Q_D = \sum_k [1,89 (0,77) 1/(-0,124 + 0,874 \cos h_t) \cdot (-0,124 + 0,874 \cos h_t) n_k] \quad (7.5)$$

$$\text{Junho: } Q_D = \sum_k [1,87 (0,77) 1/(-0,153 + 0,848 \cos h_t) \cdot (-0,153 + 0,848 \cos h_t) n_k] \quad (7.6)$$

$$\text{Julho:} \quad Q_D = \sum_k [1,88 (0,77) 1 / (-0,143 + 0,857 \cos h_t) \cdot (-0,143 + 0,857 \cos h_t) n_k] \quad (7.7)$$

$$\text{Agosto:} \quad Q_D = \sum_k [1,89 (0,77) 1 / (-0,096 + 0,894 \cos h_t) \cdot (-0,096 + 0,894 \cos h_t) n_k] \quad (7.8)$$

$$\text{Setembro:} \quad Q_D = \sum_k [1,92 (0,77) 1 / (-0,023 + 0,921 \cos h_t) \cdot (-0,023 + 0,921 \cos h_t) n_k] \quad (7.9)$$

$$\text{Outubro:} \quad Q_D = \sum_k [1,95 (0,77) 1 / (0,055 + 0,913 \cos h_t) \cdot (0,055 + 0,913 \cos h_t) n_k] \quad (7.10)$$

$$\text{Novembro:} \quad Q_D = \sum_k [1,98 (0,77) 1 / (0,123 + 0,875 \cos h_t) \cdot (0,123 + 0,875 \cos h_t) n_k] \quad (7.11)$$

$$\text{Dezembro:} \quad Q_D = \sum_k [2,00 (0,77) 1 / (0,152 + 0,848 \cos h_t) \cdot (0,152 + 0,848 \cos h_t) n_k] \quad (7.12)$$

PARA A REGIÃO DE MANAUS, AM:

Janeiro: $Q_D = \Sigma_k [2,00 (0,77)^1 / (0,020 + 0,931 \cos h_t) . (0,020 + 0,931 \cos h_t) n_k]$ (8.1)

Fevereiro: $Q_D = \Sigma_k [1,98 (0,77)^1 / (0,012 + 0,973 \cos h_t) . (0,012 + 0,973 \cos h_t) n_k]$ (8.2)

Março: $Q_D = \Sigma_k [1,96 (0,77)^1 / (0,002 + 0,998 \cos h_t) . (0,002 + 0,998 \cos h_t) n_k]$ (8.3)

Abril: $Q_D = \Sigma_k [1,92 (0,77)^1 / (-0,009 + 0,985 \cos h_t) . (-0,009 + 0,985 \cos h_t) n_k]$ (8.4)

Maiô: $Q_D = \Sigma_k [1,89 (0,77)^1 / (-0,018 + 0,946 \cos h_t) . (-0,018 + 0,946 \cos h_t) n_k]$ (8.5)

Junho: $Q_D = \Sigma_k [1,87 (0,77)^1 / (-0,022 + 0,917 \cos h_t) . (-0,022 + 0,917 \cos h_t) n_k]$ (8.6)

$$\text{Julho: } Q_D = \sum_k \left[1,88 (0,77) 1 / (-0,020 + 0,928 \cos h_t) \cdot (-0,020 - 0,928 \cos h_t) n_k \right] \quad (8.7)$$

$$\text{Agosto: } Q_D = \sum_k \left[1,89 (0,77) 1 / (-0,014 + 0,968 \cos h_t) \cdot (-0,014 + 0,968 \cos h_t) n_k \right] \quad (8.8)$$

$$\text{Setembro: } Q_D = \sum_k \left[1,92 (0,77) 1 / (-0,003 + 0,997 \cos h_t) \cdot (-0,003 + 0,997 \cos h_t) n_k \right] \quad (8.9)$$

$$\text{Outubro: } Q_D = \sum_k \left[1,95 (0,77) 1 / (0,008 + 0,998 \cos h_t) \cdot (0,008 + 0,998 \cos h_t) n_k \right] \quad (8.10)$$

$$\text{Novembro: } Q_D = \sum_k \left[1,98 (0,77) 1 / (0,017 + 0,947 \cos h_t) \cdot (0,017 + 0,947 \cos h_t) n_k \right] \quad (8.11)$$

$$\text{Dezembro: } Q_D = \sum_k \left[2,00 (0,77) 1 / (0,022 + 0,918 \cos h_t) \cdot (0,022 + 0,918 \cos h_t) n_k \right] \quad (8.12)$$

3.2.2. A estimativa da radiação solar difusa transmitida pelas nūvens

3.2.2.1. A definição do valor de P

Para a estimativa da radiação solar difusa transmitida pelas nūvens (Q_d), assumiu-se um valor de porcentagem de transmissão (P) definido para um dia de N horas de insolação por:

$$P = \frac{Q_d}{Q'_d} \quad (9)$$

sendo

$$Q_d = Q_e - Q_D \quad (10)$$

e

$$Q'_d = \sum_k \left[I_0 (0,77)^{1 / (a' + b' \cos h_t)} \cdot [(a' + b' \cdot \cos h_t)(60 - n_k)] \right] \quad (11)$$

O valor P expressou, então, a relação entre a energia total interceptada por nūvens (Q_d) e a energia total incidente sobre as mesmas no período de um dia (Q'_d).

O balanço de energia pode ser representado pela Figura 1.

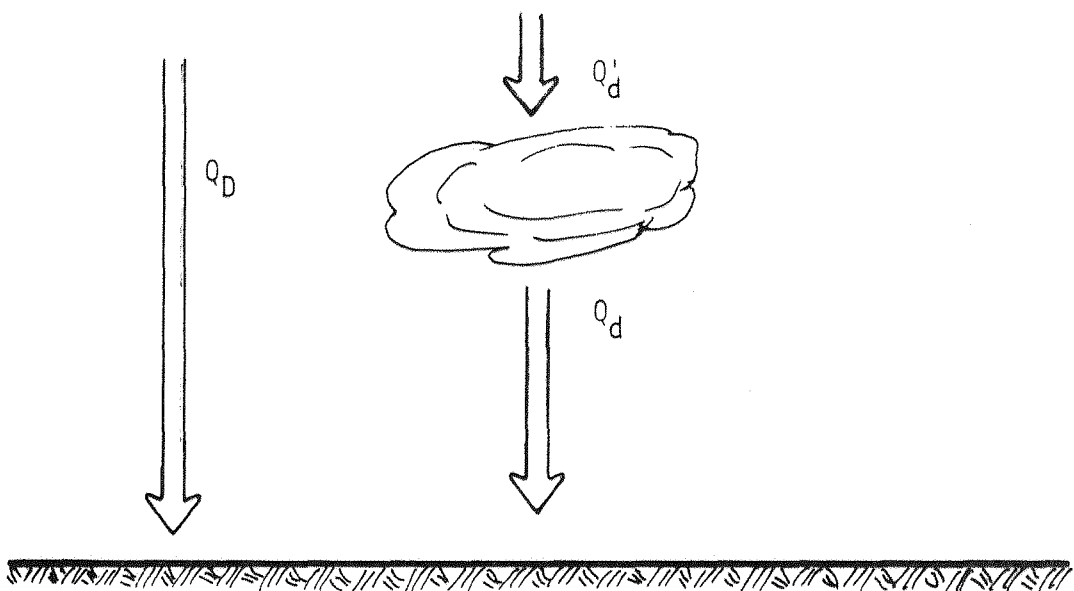


FIG. 1. Balanço de Energia

3.2.2.2. Considerações sobre o valor \bar{P}

Dentro de cada mês o valor de P variou dentro de certos limites, dependente do tipo de nuvens predominantes. Assumiu-se então, para o mês, um valor médio de P (\bar{P}), média aritmética dos valores observados (quarta aproximação).

3.2.2.3. A equação geral de estimativa da radiação difusa transmitida pelas nuvens (Q_d)

De acordo com as equações (9) e (11) o valor de Q_d foi definido por:

$$Q_d = \bar{P} \sum_k \left[I_0 (0,77)^{1/(a' + b' \cos h_t)} [a' + b' \cdot \cos h_t (60 - n_k)] \right] \quad (12)$$

sendo n_k o número de minutos de brilho solar sem interceptação de nuvens, dentro da hora.

3.2.3. A equação geral de estimativa da radiação global ao nível do solo (Q_h)

De acordo com as considerações anteriores, a radiação solar global ao nível do solo (Q_h), foi determinada pela soma de duas componentes: a radiação solar global em dia claro (Q_D), que corresponde à fração não interceptada pelas nuvens, e a parte fracional da radiação interceptada pelas nuvens que atinge o solo (Q_d), de tal modo que:

$$Q_h = Q_D + Q_d \quad (13)$$

ou ainda, de acordo com (7) e (12), obtivemos:

$$Q_h = \sum_k \left[I_{I_0} \cdot (0.77)^{1/(a' + b' \cos h_t)} \cdot (a' + b' \cos h_t) + [n_k + \bar{P}(60 - n_V)] \right] \quad (14)$$

3.2.4. Métodos de Comparação

Para avaliar o desempenho do método proposto, utilizaram-se os seguintes métodos clássicos de estimativas:

3.2.4.1. Método de OMETTO (1968)

O método proposto por OMETTO (1968) constitui-se do seguinte conjunto de equações:

$$Q_1 = Q_0 (0,25 + 0,50 \frac{n}{N}) \quad (15)$$

válida para o período "Primavera-verão";

$$Q_1 = Q_0 (0,28 + 0,51 \frac{n}{N}) \quad (16)$$

válida para o período "Outono-inverno";

onde:

Q_1 = radiação solar global que alcançou a superfície do solo;

Q_0 = radiação solar que alcançaria a terra na ausência da atmosfera em um dia qualquer;

n = número de horas de brilho solar que houve durante o dia considerado;

N = número máximo possível de horas de brilho solar.

Como se pode observar, foram determinados para as constantes da equação (13) os valores de $a = 0,25$ e $b = 0,50$, e para as da equação (14) os valores de $a = 0,28$ e $b = 0,51$.

3.2.4.2. Método de RIBEIRO et alii (1980)

O método proposto por RIBEIRO et alii (1980) utilizou-se da seguinte equação:

$$Q_g = Q_0 (0,26 + 0,49 \frac{n}{N}) \quad (17)$$

onde:

Q_g = radiação solar global medida ao nível do solo;

Q_0 = radiação solar recebida no topo da atmosfera;

n = total de horas de insolação obtidos pelo registro do heliôgrafo de Campbell-Stokes;

N = duração máxima possível da insolação, em horas.

Por outro lado, os valores das constantes determinadas para a equação (17) foram respectivamente:

$$a = 0,26 \quad e \quad b = 0,49$$

4 - RESULTADOS OBTIDOS

4.1. PARA A REGIÃO DE PIRACICABA, SP

Para a região de Piracicaba, SP, 1965, de acordo com a metodologia descrita anteriormente, obtiveram-se os seguintes resultados:

4.1.1. Relativos a estimativa da radiação global de dias claros ao nível do solo (Q_D)

Nas Tabelas de 1 a 12 e 25 a 30 do Apêndice, são apresentados os valores de Q_D calculados de acordo com as equações (3), (4), (5), (5.1) a (5.12) e a equação geral (7). Por outro lado, as equações de (7.1) a (7.12), derivadas de (7), permitem determinar os valores de Q_D para cada mês em estudo.

4.1.2. Relativos a estimativa do valor Q'_d

Para a estimativa da energia total incidente sobre as nuvens (Q'_d) utilizaram-se as equações (4), (5.1) a (5.12) e a equação geral (11), cujos resultados são apresenta-

dos nas Tabelas de 1 a 12 do Apêndice.

4.1.3. Relativos à estimativa do valor P

Para a estimativa da porcentagem de energia transmitida pelas nuvens utilizaram-se as equações (7), (7.1) a (7.12), (9), (10), (11) e os valores de radiação solar global registrados pelo Piranômetro Eppley (Q_e), determinando-se, para cada mês, o valor P e \bar{P} (média aritmética dos valores apresentados), demonstrados nas Tabelas de 1 a 12 do Apêndice.

4.1.4. Relativos à insolação horária (n)

Os valores de n cotados de hora em hora, através do heliôgrafo (Σn), em $\text{min} \cdot \text{dia}^{-1}$, são apresentados nas Tabelas de 1 a 12 e 25 a 30 do Apêndice, sendo que a hora 6 corresponde ao intervalo das 5 e 6 horas, o valor 7 corresponde ao das 7 às 8 horas, e assim sucessivamente.

4.1.5. Relativos à estimativa do valor Q_d

Para a estimativa da energia transmitida pelas nuvens (Q_d) foram utilizadas as equações (9), (10), (11) e a equação geral (12), cujos resultados são apresentados nas Tabelas de 25 a 30 do Apêndice.

4.1.6. Relativos à estimativa da radiação solar global calculada pelo método proposto (Q_h)

Nas tabelas de 25 a 30 do Apêndice, são relatados

os valores de Q_h , calculados de acordo com as equações (7), (7.1) a (7.12), (12), (13), e a equação geral (14), proposta pelo método.

4.1.7. Relativos à radiação estimada pelo método de OMETTO (1968) (Q_j)

Nas tabelas de 37 a 40 do Apêndice, são apresentados os valores de Q_j , determinados pelas equações (15) e (16).

4.2. PARA A REGIÃO DE MANAUS, AM

Para a região de Manaus, AM, 1978, de acordo com a metodologia descrita anteriormente, obtiveram-se os seguintes resultados

4.2.1. Relativos à estimativa da radiação global de dias claros ao nível do solo (Q_D)

Nas tabelas de 13 a 24 e 31 a 36 do Apêndice, são apresentados os valores de Q_D , calculados de acordo com as equações (3), (4), (6.1) a (6.12) e a equação geral (7). Por outro lado, as equações de (8.1) a (8.12) permitem determinar os valores de Q_D para cada mês em estudo.

4.2.2. Relativos à estimativa do valor Q'_d

Para a estimativa da energia total incidente sobre as nuvens (Q'_d) utilizaram-se as equações (7), (8.1) a (8.12) e a equação geral (11), cujos resultados são apresentados

dos nas Tabelas de 13 a 24 do Apêndice.

4.2.3. Relativos à estimativa do valor P

Para a estimativa da porcentagem de energia transmitida pelas nuvens utilizaram-se as equações (7), (8.1) a (8.12), (9), (10), (11), e os valores de radiação solar global registrados Piranômetro Eppley (Q_e), determinando-se para cada mês, o valor de P e \bar{P} (média aritmética dos valores apresentados), demonstrados nas Tabelas de 13 a 24 do Apêndice.

4.2.4. Relativos à insolação horária (n)

Os valores de n cotados de hora em hora, através de tiras heliográficas, e a insolação total (Σn), em min.dia⁻¹, são apresentados nas Tabelas de 13 a 24 e 31 a 35 do Apêndice, sendo que a hora 6 corresponde ao intervalo das 5 às 6 horas, o valor 6 corresponde ao das 7 às 8 horas, e assim sucessivamente.

4.2.5. Relativos à estimativa do valor Q_d

Para a estimativa da energia transmitida pelas nuvens (Q_d) foram utilizadas as equações (9), (10), (11) e a equação geral (12), cujos resultados são apresentados nas Tabelas de 31 a 36 do Apêndice.

4.2.6. Relativos à estimativa da radiação solar global calculada pelo método proposto (Q_h)

Nas Tabelas de 31 a 36 do Apêndice, são relatados

os valores de Q_h , calculados de acordo com as equações (7), (8.1) a (8.12), (12), (13) e a equação geral (14), proposta pelo método.

4.2.7. Relativos à radiação estimada pelo método de RIBEIRO et alii (1980) (Q_n)

Nas Tabelas de 41 a 44 do Apêndice são apresentados os valores de Q_n determinados pela equação (17).

5 - DISCUSSÃO DOS RESULTADOS

5.1. RELATIVOS ÀS ESTIMATIVAS DA RADIAÇÃO SOLAR PELO MÉTODO PROPOSTO

5.1.1. Para região de Piracicaba, SP

Pelos resultados apresentados nas Tabelas de 37 a 40 observa-se que existe de acordo com o teste usado uma correlação positiva, altamente significativa entre os valores de radiação medida (Q_e) pelo piranômetro Eppley estimada pelo método proposto (Q_h), embora o pequeno número de dados analisados em alguns meses do ano, possam afetar o grau de confiabilidade destes resultados. Investigando-se o fato do baixo coeficiente de correlação obtido para o mês de Março ($r = 0,63$), verificou-se a ocorrência de chuvas em 15 dias dos 17 analisados. Inversamente os altos valores de r^2 verificaram-se, como era esperado, nos períodos de pouca precipitação, como por exemplo no mês de Abril ($r^2 = 0,93$), onde nenhum dos dias totalizou menos que duas horas de insolação. Observa-se também que em situações de dias de pouca insolação, concentram-se quase toda a totalidade dos valores discrepantes. Entende-se

que nestes casos o valor de P (fração da energia transmitida pelas nuvens) se afasta do valor médio adotado, prejudicando as estimativas. Acredita-se que melhores aproximações podem ser obtidas quando se puder associar os valores de P a classes de sistema de nuvens, principalmente com relação a espessura, que determina grande variações no valor da transmitância.

Para se ter idéia da precisão do método proposto com relação aos métodos de estimativas convencionais, comparações foram feitas com os valores obtidos pela equação proposta por OMETTO (1968), baseada no método clássico de Ångstrom (1924) e obtida para as condições de Piracicaba, SP. Como se pode observar em média obtiveram-se valores idênticos de r^2 nas comparações, sendo em alguns meses (janeiro, abril, junho e novembro), acentuadamente superiores. Com relação a dispersão dos valores estimados em torno dos medidos, observa-se uma distribuição sem tendências, sugerindo-nos uma coerência do coeficiente de transmissão adotado, e considerando que, em dias nebulosos, a cotação de um diagrama de actinôgrafo convencional, pode, conforme o caso, conduzir a erros de maior ordem de grandeza, consideramos como boa a precisão das estimativas obtidas.

5.1.2. Para a região de Manaus, AM

De acordo com os dados apresentados nas Tabelas , de 41 a 44. Nota-se um comportamento similar entre os dados medidos e estimados pelo método proposto: nos meses de menor número de dias de chuvas os valores de r^2 são altos com um má

ximo em Agosto ($r^2 = 0,98$), decaindo na estação chuvosa. Na média porém, observa-se a tendência de menores valores de r^2 , comparativamente a região de Piracicaba, SP, fato explicável pela diferença de nebulosidade associada a precipitação pluviométrica. Em decorrência dos tipos de sistemas que se formam na região (na maioria nuvens de desenvolvimento vertical pronunciado) era de se esperar, como ocorreu, uma porcentagem menor de transmissão pelas nuvens (valor P) principalmente na estação chuvosa (janeiro, fevereiro, março e abril).

Comparando-se também os resultados obtidos pela equação proposta para Manaus, AM, com o método de estimativa elaborado por RIBEIRO et alii (1980), adaptado às condições de Manaus, AM, nota-se um comportamento idêntico de estimativa. Depreende-se disto mais uma vez que para melhoria do método, deveremos associar aos valores de P, o tipo de nuvem presente.

5.1.3. Considerações Gerais

Na tentativa de se mapear energia solar disponível, por fotografia de satélites, trabalho que começa agora a ser desenvolvido no Brasil, uma das dificuldades oferecidas é aquela relativa a associação existente entre os "níveis de cinza" das fotografias e a energia transmitida pelas nuvens para o solo. Pretende-se aqui, que a metodologia utilizada no trabalho para estimativa do valor P, seria de grande utilidade para estas comparações, desde que tivéssemos as medidas heliográficas e radiométricas da superfície.

Com relação ao método proposto em si, diante dos

resultados obtidos, sua utilização nos parece bastante viável. É óbvio que, novas comparações, com maior número de dados, deverão ser feitas para que se conheçam com mais detalhes as prováveis limitações existentes. Pretende-se também que para períodos ou regiões de baixa nebulosidade melhores resultados serão obtidos.

6 - CONCLUSÕES

Como resultado do estudo das relações existentes entre radiação global ao nível do solo, medida por Piranômetro Eppley, e insolação medida hora a hora com heliógrafo - Campbell-Stokes, podemos concluir que:

- a - Para os locais do estudo é viável a utilização do método proposto, que, para os períodos considerados, forneceu estimativas, com aproximações aceitáveis com relação aos valores medidos, e da mesma ordem de grandeza, quando comparado ao processo usual de estimativa, superando-o por vezes.
- b - Pretende-se que o método possa ser sensivelmente melhorado desde que, através da análise de uma série mais longa de dados, possam se estabelecer correlações entre classes de sistemas de nubes e a transmissividade decorrente (valor P).
- c - O método sugerido para a estimativa da transmissividade da cobertura de nubes, como um todo, ao longo do dia, re-

velou-se consistente em face a coerênci a dos dados obtidos.

7 - LITERATURA CITADA

ABBAS, M. A. e M. K. EL-NESR, 1977. Relation between sunshⁱne duration and mean daily solar radiation on a horizon tal surface in Iraq. Iraqi Journal of Science, Baghdad , 18(2): 142-149.

ALMANZA, R. e S. LOPEZ, 1978. Total solar radiation in Mexi co using sunshine hours and meteorological data. Solar Energy, Oxford, 21(5): 441-448.

ALMEIDA, R. ; E. SALATI e N. A. VILLA NOVA, 1979. Distribui ção espectral e coeficientes de transmissão da radiação solar para condições de céu limpo em Manaus. Acta Amazôni ca, Manaus, 9(2): 279-285.

BLACK, J. N. ; C. W. BONYTHON e J. A. PRESCOTT, 1954. Solar radiation and the duration of sunshine. Q. J. R. Meteorological Society. Londres, 80(344): 231-235.

BOLSENGA, S. J., 1978. Technique for estimating monthly global radiation. Water Resources Bulletin, Minneapolis,

14(3): 679-688.

BRICHAMBAUT, C. P., 1978. Estimation de l'énergie solaire disponible au sol. La Météorologie. Paris, 6(15): 5-45.

CAMARGO, A. P., 1961. Contribuição para determinação da evapotranspiração potencial no Estado de São Paulo. Piracicaba, ESALQ/USP, 49 p. (Tese de Doutoramento).

CATSOULIS, B. D., 1975. An empirical method of converting actinometric data to hours of bright sunshine. Hypomnemata, Ser. 2. Meteorologia, Atenas, nº 41, 13 p.

CERVELLINI, A. ; E. SALATI e H. GODOY, 1966. Estimativa da distribuição da energia solar no Estado de São Paulo. Bragantia. Campinas, 25(8): 31-40.

DANIELSON, R. E. ; D. R. MOORE e H. C. Van de HULST, 1969. The transfer of visible radiation through clouds. J. Atmos. Sci., 26: 1078-1087.

DAVE, J. V. e N. BRASLAU, 1974. Effect of cloudiness on the transfer of solar energy through realistic model atmospheres. J. Appl. Meteorol., 14: 388-395.

DAVIES, J. A. ; W. SCHERTZER e M. MUNEZ, 1975. Estimating global solar radiation. Boundary-Layer Meteorology, Dordrecht, 9: 33-52.

DRIEDGER, H. L. e A. J. W. CATCHPOLE, 1970. Estimation of solar radiation receipt from sunshine duration at Winnipeg. The Meteorological Magazine. Londres, 99(1179): 285-291.

GLOVER, J. e J. S. G. McCULLOCH, 1958. The empirical relation between solar radiation and hours of bright sunshine in the high-altitude tropics. Q. J. R. Meteorological Society. Londres, 84(359): 56-60.

GLOVER, J. e J. S. G. McCULLOCH, 1958. The empirical relation between solar radiation and hours of sunshine. Q. J. R. Meteorological Society. Londres, 84(360): 172-175.

HOTTEL, H. C., 1975. A simple model for estimating the transmittance of direct solar radiation through clear atmospheres. Solar Energy, 18: 129-134.

HOYT, D., 1978. Model for the calculation of solar global insolation. Solar Energy, Oxford, 21(1): 27-35.

KIMBALL, H. H. e I. V. HAND, 1936. Biological effects of radiation. New York. Ed. B. M. Duggar, McGraw-Hill Book, Co.

LAEVASTU, T., 1960. Factors affecting the temperature of the surface layer of the sea. Comment. Phys. Math., 25: 1-136.

LIOU, K. N., 1976. On the absorption, reflection and transmission of radiation in cloud atmospheres. J. Atmos. Sci., 33: 798-805.

LOPES, N. F. ; A. S. GOMES ; F. S. MOTA ; J. R. B. GARCEZ ; C. O. GOEDERT e J. BOING, 1971. Estimativa da radiação solar durante o ciclo vegetativo dos cereais no Rio Grande do Sul. Boletim Técnico do Instituto de Pesquisas Agro-

pecuárias do Sul. Pelotas, nº 73, 32 p.

MONTEITH, J. L., 1962. Attenuation of solar radiation: a climatological study. Q. J. R. Meteorol. Soc., 68: 508-521.

MOTA, F. S. e M. I. C. BEIRSDORF, 1971. Novas estimativas da radiação solar sobre o sul do Brasil. Ciência e Cultura, São Paulo, 23(5): 573-576.

OCCHIPINTI, A. G., 1966. Analysis of the empirical relations between visible solar radiation, the solar altitude and transparency of the atmosphere. Instituto Astronômico e Geofísico da USP. São Paulo.

OMETTO, J. C., 1968. Estudo das relações entre radiação global, radiação líquida e insolação. Piracicaba, ESALQ/USP 64 p. (Tese de Doutoramento).

OMETTO, J. C. e N. A. VILLA NOVA, 1973. Estudo da transmis-
sividade média da atmosfera para a radiação solar em fun-
ção do tipo de cobertura. Boletim Técnico. Serviço de
Meteorologia, (8): 24-65.

PENMAN, H. L., 1948. Natural evaporation from open water, bare soil, and grass. Royal Soc. Proc. Series A - Mathen Pshi. Sci., London, 193: 120-45.

PEREIRA, A. R. ; E. SALATI ; A. CERVELLIN e C. R. MELLO GODOY, 1971. Radiação solar: distribuição diária sem considerar os efeitos da atmosfera. Caderno de Ciências da Terra. São Paulo, nº 10, 14 p.

REIS, A. C. S. ; T. J. F. COELHO e N. L. L. ALVES, 1973. Estimativa da energia solar global na área do Recife, baseada em registros de insolação. Pesquisa Agropecuária Brasileira, Série Agronomia. Brasília, 8(7): 177-179.

RIBEIRO, A. M. A., 1980. Estudo das relações entre radiação solar global (Q_g) e razão de insolação (n/N), em algumas regiões do Brasil. Piracicaba, ESALQ/USP. 88 p. (Tese de Mestrado).

RIBEIRO, M. N. G. ; E. SALATI ; N. A. VILLA NOVA e C. G. B. DE MÉTRIO, 1980. Radiação solar disponível em Manaus, AM, e suas relações com a duração do brilho solar. I Congresso Brasileiro de Meteorologia. Campina Grande, Paraíba.

SÁ, D. F., 1973. Alguns aspectos da energia solar em Mandacaru. Boletim de Recursos Naturais da SUDENE. Recife, 11 (1/2): 11-26.

SALATI, E. ; J. C. OMETTO ; A. CERVELLINI ; N. A. VILLA NOVA e J. M. SANTOS, 1966. Estudo da determinação da radiação solar em Piracicaba. Trabalho apresentado na XVIII Reunião Anual da Sociedade Brasileira para o Progresso da Ciência, Blumenau, SC. 26 p.

SALATI, E. ; A. CERVELLINI ; N. A. VILLA NOVA ; J. C. OMETTO; J. M. SANTOS e C. R. MELLO GODOY, 1967. Estimativa da radiação solar que atinge uma área horizontal unitária , admitindo se a ausência da atmosfera. Boletim Técnico do Departamento Nacional de Meteorologia. Rio de Janeiro , 6: 1-60.

SELIRIO, I. S. ; D. M. BROWN e K. M. KING, 1971. Estimation of net and solar radiation. Canadian Journal of Plant Science. Ottawa, 51(1): 35-39.

SIEN, C. L., 1969. Sunshine and solar radiation in Singapore. The Meteorological Magazine. Londres, 98(1166) : 265-274.

SMITH, G. W., 1959. Solar radiation and the duration of sunsh ine in Trinidad, West Indies. Q. J. R. Meteorological Society. Londres, 85(366): 421-423.

SUCKLING, P. W. e J. E. HAY, 1977. Cloud layer-sunshine model for estimating direct, diffuse and total solar radiation. Atmosphere, Toronto, 15(4): 194-207.

TUBELIS, A. ; F. J. L. NASCIMENTO e L. L. FOLONI, 1977. Radiação solar global e insolação em Botucatu, SP. Médias mensais. Botucatu Científica, Série A, Botucatu, 2(1): 25-34.

TWOMEY, S., 1976. Computations on the absorption of solar radiation by clouds. J. Atmos. Sci., 33: 1087-1091.

VAREJÃO-SILVA, M. A. Instrução para Operação de Estações Meteorológicas de Superfície. Série Meteorologia Nº 1, 1a. Edição - Recife - 1974.

VILLA NOVA, N. A. ; J. C. OMETTO e E. SALATI, 1973. Estimativa do coeficiente de transmissão médio de radiação global em Piracicaba, SP. In: Simpósio Brasileiro de Radiação Solar, 2, João Pessoa, Pb.

VILLA NOVA, N. A. ; E. SALATI ; J. M. SANTOS e M. N. G. RIBEIRO, 1976. Coeficientes de transmissão de radiação solar em Manaus, em junho. Acta Amazônica, Manaus, 6(3): 319-322.

VOWINCKEL, E. e S. ORVIG, 1962. Relation between solar radiation income and cloud type in the Anrtic. J. Appl. Meteorol., 1: 552-559.

8 - APÊNDICE

TABELA 1 - Valores obtidos de n (insolação horária, em min.hora⁻¹), Σn (insolação total, em min.dia⁻¹), Q_D (radiação solar global em dias claros, em cal.cm⁻².dia⁻¹), Q'_D (energia incidente sobre as nuvens, em cal.cm⁻².dia⁻¹), Q_e (radiação medida pelo Piranômetro Eppley, em cal.cm⁻².dia⁻¹) e valores ajustados de P (porcentagem de energia transmitida pelas nuvens). Piracicaba, SP. Janeiro de 1965.

Dias	Insolação Horária												Q_D	Q'_D	Q_e	P %			
	6	7	8	9	10	11	12	13	14	15	16	17	18	19	Σn				
15	0	0	33	60	60	60	48	33	0	0	0	0	0	354	445	256	632	73,0	
18	0	0	0	0	0	0	0	0	42	60	57	12	45	3	219	205	496	486	56,7
20	0	0	21	42	18	0	18	60	60	60	60	60	21	480	448	253	585	54,2	
24	0	33	60	54	12	3	30	39	60	42	39	0	0	0	372	395	306	638	79,4
25	0	3	57	57	9	0	42	18	0	30	33	0	0	0	249	265	436	506	55,3
26	0	0	0	45	60	60	57	12	0	9	60	0	0	0	303	394	307	523	42,0
27	0	0	36	51	12	42	60	60	54	12	0	0	0	0	387	487	214	623	63,6
30	0	0	0	0	0	0	15	0	0	45	51	0	0	111	98	603	413	52,2	
Média do período															309	342	359	551	59,6

TABELA 2 - Valores obtidos de n (insolação horária, em min.hora⁻¹), Σn (insolação total, em min.dia⁻¹), Q_D (radiação solar global em dias claros, em cal.cm⁻².dia⁻¹), Q'_D (energia incidente sobre as nubes, em cal.cm⁻².dia⁻¹), Q_e (radiação medida pelo Piranômetro Eppley, em cal.cm⁻².dia⁻¹) e valores ajustados de P (porcentagem de energia transmitida pelas nubes). Piracicaba, SP. Fevereiro de 1965.

Dias	Insolação Horária												Σn	Q_D	Q'_D	Q_e	$P\%$		
	6	7	8	9	10	11	12	13	14	15	16	17							
01	0	0	30	0	9	0	0	12	48	3	12	0	0	114	103	544	456		
02	0	0	0	6	42	51	60	60	60	60	54	0	0	513	535	238	628		
04	0	0	0	3	6	0	0	0	0	0	0	0	0	9	9	639	283	42,9	
05	0	2	0	0	0	12	36	6	39	60	57	12	0	281	276	372	470	52,2	
10	0	54	57	60	60	59	30	51	45	60	45	0	0	641	569	79	632	79,7	
11	0	15	54	27	60	60	36	48	45	54	60	36	0	555	536	112	613	68,8	
12	0	0	0	9	40	54	59	60	45	24	9	0	0	300	400	248	486	34,7	
13	0	0	0	0	21	10	0	30	30	48	15	0	0	184	204	444	328	27,9	
14	0	0	0	24	27	3	0	30	21	0	0	0	0	105	128	504	287	31,5	
15	0	0	0	6	27	30	51	57	57	51	12	0	24	0	315	386	262	452	25,2
17	0	39	60	60	60	60	60	60	48	0	6	24	0	537	603	45	636	73,3	
19	0	36	60	60	60	60	60	60	60	60	0	0	0	576	611	37	621	27,0	
20	0	0	0	0	18	48	45	21	45	60	0	0	0	237	314	334	434	35,9	
22	0	0	0	0	3	12	0	30	40	57	15	33	0	0	190	212	436	413	46,1
23	0	0	0	0	21	51	21	54	33	27	0	0	0	258	332	315	407	23,8	
24	0	0	0	0	0	0	33	45	60	51	9	12	15	0	225	271	377	433	43,0
25	0	0	0	27	30	36	45	9	6	24	30	15	0	0	222	253	394	423	43,1
26	0	0	0	30	9	18	60	57	0	0	0	0	0	174	208	439	356	33,7	
28	0	0	6	9	0	3	60	45	18	45	0	15	0	0	201	253	395	466	53,9
Média do período															297	326	327	464	45,2

TABELA 3 - Valores obtidos de Σn (insolação horária, em min.hora⁻¹), Σn (insolação total, em min.dia⁻¹), Q_D (radiação solar global em dias claros, em cal.cm⁻².dia⁻¹), Q_d' (energia incidente sobre as nuvens, em cal.cm⁻².dia⁻¹), Q_e (radiação medida pelo Piranômetro Eppley, em cal.cm⁻².dia⁻¹) e valores ajustados de P (porcentagem de energia transmitida pelas nuvens). Piracicaba, SP. Março de 1965.

Dias	Insolação Horária												Q_D	Q_d'	Q_e	P %				
	6	7	8	9	10	11	12	13	14	15	16	17								
01	0	0	0	9	0	0	0	45	21	39	42	0	0	156	131	444	421	65,3		
02	0	0	12	60	60	60	60	42	0	0	0	0	0	354	403	171	432	17,0		
03	0	0	0	0	6	12	18	0	0	0	0	0	0	36	46	528	290	46,2		
04	0	0	30	48	51	27	0	24	57	3	42	24	0	0	306	279	296	493	72,3	
05	0	0	0	0	21	60	60	60	54	0	3	27	0	0	345	398	177	475	43,5	
06	0	0	0	0	0	0	6	30	60	42	33	51	30	0	0	252	266	308	422	50,6
08	0	0	24	42	0	3	18	27	39	0	0	0	0	0	153	154	421	444	68,9	
09	0	0	0	0	0	15	0	0	0	0	12	21	0	0	48	25	549	163	25,1	
16	0	0	0	0	30	24	0	3	0	0	18	12	0	0	87	78	497	326	49,9	
17	0	0	0	0	18	18	51	18	6	0	15	60	60	24	0	270	210	364	380	46,7
18	0	3	60	60	33	45	60	15	0	0	0	0	0	0	336	332	243	394	25,5	
19	0	0	0	0	42	15	15	0	48	60	33	21	15	0	249	237	337	395	46,9	
20	0	0	36	60	60	57	39	27	33	60	60	0	0	459	413	161	525	69,6		
23	0	0	0	0	0	6	6	15	51	21	42	40	0	0	181	203	371	330	34,2	
24	0	0	24	51	51	60	39	60	51	0	0	0	0	0	336	374	200	437	31,5	
25	0	0	0	30	60	60	60	27	60	21	0	0	0	0	378	436	139	513	55,4	
26	0	0	15	22	60	60	15	12	3	27	0	0	0	0	274	291	283	374	29,3	
Média do período																248	252	323	401	45,8

TABELA 4 - Valores obtidos de n (insolação horária, em min.hora $^{-1}$), Σn (insolação total, em min.dia $^{-1}$), Q_D (radiação solar global em dias claros, em cal.cm $^{-2} \cdot dia^{-1}$), Q'_D (energia incidente sobre as nuvens, em cal.cm $^{-2} \cdot dia^{-1}$), Q_e (radiação medida pelo Piranômetro Eppley, em cal.cm $^{-2} \cdot dia^{-1}$) e valores ajustados de P (porcentagem de energia transmitida pelas nuvens). Piracicaba, SP. Abril de 1965.

Dias	Insolação Horária												Q_D	Q'_D	Q_e	$P\%$			
	6	7	8	9	10	11	12	13	14	15	16	17	18	19					
06	0	0	0	51	60	50	54	60	57	51	6	0	0	449	408	56	445	66,1	
09	0	0	0	0	9	0	0	9	0	0	51	60	18	0	147	60	405	267	51,1
13	0	0	54	60	60	57	48	51	60	45	42	0	0	537	423	42	439	23,8	
20	0	0	15	54	36	60	60	60	60	60	60	27	0	552	431	34	464	97,1	
21	0	0	0	0	0	50	60	60	48	27	45	57	0	0	347	306	158	418	70,9
25	0	0	0	48	24	60	21	60	60	60	60	9	0	462	368	96	448	83,3	
26	0	0	30	27	51	30	0	33	0	0	0	0	0	171	136	328	320	56,1	
27	0	0	0	9	24	1	15	24	30	60	36	20	0	219	136	328	297	49,1	
28	0	0	0	54	60	54	12	60	55	0	0	0	0	295	282	182	339	31,3	
Média do período															353	283	181	382	58,8

TABELA 5 - Valores obtidos de n (insolação horária, em min.hora⁻¹), Σn (insolação total, em min.dia⁻¹), Q_D (radiação solar global em dias claros, em cal.cm⁻².dia⁻¹), Q'_D (energia incidente sobre as nuvens, em cal.cm⁻².dia⁻¹), Q_e (radiação medida pelo Piranômetro Eppley, em cal.cm⁻².dia⁻¹) e valores ajustados de P (porcentagem de energia transmitida pelas nuvens). Piracicaba, SP. Maio de 1965.

Dias	Insolação Horária												Q_D	Q'_D	Q_e	$P\%$				
	6	7	8	9	10	11	12	13	14	15	16	17	18	19	Σn					
04	0	0	0	0	0	18	60	60	60	39	20	0	0	317	312	171	409	56,7		
05	0	0	0	0	0	51	60	60	60	60	60	12	0	483	422	61	457	57,4		
06	0	0	0	0	0	0	30	60	60	60	60	54	0	0	384	343	140	407	45,7	
10	0	0	0	0	0	0	36	27	54	12	0	0	0	0	129	144	339	286	41,9	
12	0	0	0	0	0	0	0	0	0	0	0	42	6	0	48	12	472	170	33,5	
13	0	0	0	0	0	3	12	48	57	24	51	51	0	0	246	201	282	238	13,1	
15	0	0	0	0	0	0	0	0	0	0	0	6	0	0	6	7	477	145	28,9	
16	0	0	0	18	60	60	57	60	48	12	0	0	0	0	375	382	102	404	21,6	
19	0	0	12	57	33	33	0	0	0	0	0	0	0	0	135	66	417	245	42,9	
21	0	0	0	0	0	0	57	57	51	21	60	60	57	0	363	245	238	320	31,5	
22	0	0	0	0	30	60	60	60	36	60	64	0	0	420	381	103	394	12,6		
																264	229	255	316	35,1
Média do período																				

TABELA 6 - Valores obtidos de Σn (insolação horária, em min.hora⁻¹), Σn (insolação total, em min.dia⁻¹), Q_D (radiação solar global em dias claros, em cal.cm⁻².dia⁻¹), Q'_D (energia incidente sobre as nuvens, em cal.cm⁻².dia⁻¹), Q_e (radiação medida pelo Piranômetro Eppley, em cal.cm⁻².dia⁻¹) e valores ajustados de P (porcentagem de energia transmitida pelas nuvens). Piracicaba, SP. Junho de 1965.

Dias	Insolação Horária												Σn	Q_D	Q'_D	Q_e	P %		
	6	7	8	9	10	11	12	13	14	15	16	17							
08	0	0	0	0	12	21	42	0	0	0	0	0	75	60	257	237	68,9		
10	0	0	0	0	0	12	27	0	0	3	33	0	0	0	75	46	272	208	59,6
11	0	0	0	0	27	6	0	0	0	0	0	0	0	0	33	21	297	162	47,5
12	0	0	0	0	3	0	0	30	60	60	60	33	0	0	246	132	185	241	58,9
18	0	0	0	0	21	60	60	60	60	45	0	0	366	227	91	298	78,0		
19	0	0	0	0	0	51	60	60	60	42	0	0	333	203	115	272	60,0		
22	0	0	3	54	30	0	3	0	0	0	36	0	0	126	41	277	173	47,7	
23	0	0	0	0	45	60	33	9	27	3	0	0	0	177	133	185	230	52,4	
25	0	0	0	0	0	0	27	60	60	60	36	0	0	303	181	137	271	65,7	
Média do período												193	116	202	232	59,9			

TABELA 7 - Valores obtidos de n (insolação horária, em min.hora⁻¹), Σn (insolação total, em min.dia⁻¹), Q_D (radiação solar global em dias claros, em cal.cm⁻².dia⁻¹), Q_d^i (energia incidente sobre as nuvens, em cal.cm⁻².dia⁻¹), Q_e (radiação medida pelo Pirâmetro Eppley, em cal.cm⁻².dia⁻¹) e valores ajustados de P (porcentagem de energia transmitida pelas nuvens). Piracicaba, SP. Julho de 1965

Dias	Insolação Horária												Σn	Q_D	Q'_d	Q_e	P %			
	6	7	8	9	10	11	12	13	14	15	16	17	18	19						
01	0	0	0	45	60	60	60	60	60	60	60	60	0	0	525	326	10	333	70,0	
04	0	0	0	0	0	0	0	0	0	12	0	0	18	0	0	30	11	325	95	25,8
07	0	0	0	1	3	0	0	21	9	3	3	1	0	0	41	32	304	185	50,3	
08	0	0	0	0	0	0	0	0	0	12	21	48	51	0	0	132	44	292	126	28,1
20	0	0	24	54	60	30	36	60	60	60	45	0	0	0	249	274	62	301	43,5	
22	0	0	45	60	60	60	60	60	60	45	0	0	0	0	510	324	12	329	41,7	
29	0	0	12	60	15	12	0	9	60	45	0	3	0	0	216	127	209	298	81,8	
Média do período															269	163	173	238	48,7	

TABELA 8 - Valores obtidos de Σn (insolação horária, em min.hora⁻¹), ΣI (insolação total, em min.dia⁻¹), Q_D (radiação solar global em dias claros, em cal.cm⁻².dia⁻¹), Q'_D (energia incidente sobre as nuvens, em cal.cm⁻².dia⁻¹), Q_e (radiação medida pelo Piranômetro Eppley, em cal.cm⁻².dia⁻¹) e valores ajustados de P (porcentagem de energia transmitida pelas nuvens). Piracicaba, SP. Agosto de 1965.

Dias	Insolação Horária												Σn	Q_D	Q'_D	Q_e	P %		
	6	7	8	9	10	11	12	13	14	15	16	17	18	19					
15	0	0	15	60	57	50	57	33	0	0	0	0	0	0	272	256	158	354	62,0
29	0	12	60	60	60	60	60	60	60	60	6	0	0	0	492	397	16	405	50,0
Média do período															382	327	87	380	56,0

TABELA 9 - Valores obtidos de n (insolação horária, em min.hora $^{-1}$), Σn (insolação total, em min.dia $^{-1}$), Q_D (radiação solar global em dias claros, em cal.cm $^{-2} \cdot dia^{-1}$), Q'_D (energia incidente sobre as nuvens, em cal.cm $^{-2} \cdot dia^{-1}$), Q_e (radiação medida pelo Piranômetro Eppley, em cal.cm $^{-2} \cdot dia^{-1}$) e valores ajustados de P (porcentagem de energia transmitida pelas nuvens). Piracicaba, SP. Setembro de 1965.

Dias	Insolação Horária												Q_D	Q'_D	Q_e	$P\%$			
	6	7	8	9	10	11	12	13	14	15	16	17	18	19	Σn				
01	0	0	51	60	60	60	60	60	30	0	0	0	441	432	90	441	10,0		
08	0	0	33	60	60	60	60	60	60	60	0	0	0	513	495	26	502	30,6	
11	0	0	0	0	0	6	0	0	6	0	0	0	0	12	14	508	275	51,4	
12	0	0	0	0	0	6	27	36	0	0	0	0	0	69	87	435	280	44,4	
20	0	9	60	45	15	57	54	48	60	15	0	0	0	363	342	186	413	38,2	
23	0	0	15	60	60	60	60	60	60	36	0	0	531	422	100	515	93,0		
24	0	0	0	12	0	0	0	12	36	45	0	0	0	105	107	414	437	79,7	
25	0	0	57	60	60	36	0	18	60	24	0	0	0	375	322	200	471	74,5	
26	0	0	0	18	12	0	0	0	0	0	0	0	0	30	23	498	146	4,6	
28	0	0	0	3	27	27	6	0	21	12	50	50	0	0	196	150	371	350	53,9
30	0	0	0	42	36	15	0	30	0	0	0	0	0	123	118	404	316	49,0	
Média do período															251	228	294	377	48,1

TABELA 10 - Valores obtidos de n (insolação horária, em min.hora $^{-1}$), Σn (insolação total, em min.dia $^{-1}$), Q_D (radiação solar global em dias claros, em cal.cm $^{-2}.\text{dia}^{-1}$), Q'_D (energia incidente sobre as nuvens, em cal.cm $^{-2}.\text{dia}^{-1}$), Q_e (radiação medida pelo Pirâmetro Eppley, em cal.cm $^{-2}.\text{dia}^{-1}$) e valores ajustados de P (porcentagem de energia transmitida pelas nuvens). Piracicaba, SP. Outubro de 1965.

Dias	Insolação Horária												Q_D	Q'_D	Q_e	$P\%$		
	6	7	8	9	10	11	12	13	14	15	16	17	18	19	Σn			
02	0	0	0	30	36	18	30	27	36	60	51	15	0	333	304	284	28,2	
03	0	0	45	60	60	57	57	9	0	0	21	57	0	426	384	203	526	
06	0	9	60	60	60	60	60	60	60	60	12	0	0	501	522	65	55,4	
07	0	0	36	60	60	60	60	36	0	27	0	0	0	399	401	189	521	
08	0	0	0	0	0	0	0	0	0	12	9	0	0	21	19	569	177	
09	0	9	0	0	55	60	60	6	0	0	6	36	0	292	317	270	404	
17	0	0	6	60	60	54	60	60	30	0	12	0	0	462	511	77	573	
18	0	0	6	0	0	0	12	6	0	0	21	25	0	70	38	549	281	
20	0	0	6	27	60	60	60	60	54	0	0	0	0	447	511	76	569	
21	0	3	15	42	3	21	60	30	9	0	27	54	15	0	279	248	340	512
25	0	0	0	0	24	9	27	33	54	21	30	30	0	0	228	246	342	386
28	0	0	0	0	0	0	0	0	18	0	0	0	0	0	18	24	564	350
29	0	0	3	0	0	18	0	0	0	9	0	0	0	0	30	33	554	262
Média do período															270	274	314	423
																		53,5

TABELA 11 - Valores obtidos de n (insolação horária, em min.hora⁻¹), Σn (insolação total, em min.dia⁻¹), Q_D (radiação solar global em dias claros, em cal.cm⁻².dia⁻¹), Q'_D (energia incidente sobre as nubes, em cal.cm⁻².dia⁻¹), Q_e (radiação medida pelo Piranômetro Eppley, em cal.cm⁻².dia⁻¹) e valores ajustados de P (porcentagem de energia transmitida pelas nubes). Piracicaba, SP. Novembro de 1965.

Dias	Insolação Horária												Q_D	Q'_D	Q_e	$P\%$		
	6	7	8	9	10	11	12	13	14	15	16	17	18	19	Σn			
03	0	42	60	60	60	60	60	60	60	36	0	12	15	585	583	59	631	81,4
05	0	0	0	30	54	60	60	48	48	36	0	0	0	396	485	158	545	38,0
06	0	0	0	0	0	0	0	0	12	0	21	51	60	0	144	67	575	243
07	0	0	0	9	60	60	60	60	60	55	0	18	15	0	457	526	117	613
09	0	48	30	0	0	0	51	36	60	21	15	15	0	0	276	285	358	437
10	0	48	45	60	60	60	60	45	1	27	54	36	0	0	556	514	129	604
12	0	0	0	0	0	0	0	0	0	12	25	36	0	0	73	52	591	370
13	0	0	0	0	0	0	6	0	18	60	45	51	54	12	0	240	232	411
14	0	12	0	0	0	0	0	0	12	36	51	30	21	0	0	162	159	484
15	0	15	51	48	30	42	60	60	60	45	45	54	54	0	579	548	95	601
16	0	0	45	33	60	64	51	45	45	15	24	0	0	0	432	481	161	542
17	0	0	48	39	12	9	60	42	60	60	24	35	33	0	449	453	190	544
20	0	42	60	36	60	15	51	60	55	51	6	0	0	0	496	487	156	540
21	0	60	21	0	0	9	3	42	60	25	45	54	39	0	358	273	369	453
23	15	60	60	60	60	60	60	60	60	36	48	60	18	18	717	617	26	635
28	0	0	0	0	0	12	.51	60	60	36	57	60	0	0	336	373	270	424
29	0	0	51	54	60	60	9	60	51	60	36	60	12	0	513	511	131	580
Média do período												398	391	252	504	49,9		

TABELA 12 - Valores obtidos de n (insolação horária, em min.hora $^{-1}$), Σ (insolação total, em min.dia $^{-1}$), Q_D (radiação solar global em dias claros, em cal.cm $^{-2}.\text{dia}^{-1}$), Q'_D (energia incidente sobre as nubes, em cal.cm $^{-2}.\text{dia}^{-1}$), Q_e (radiação medida pelo Piranômetro Eppley, em cal.cm $^{-2}.\text{dia}^{-1}$) e valores ajustados de P (porcentagem de energia transmitida pelas nubes). Piracicaba, SP. Dezembro de 1965.

Dias	Insolação Horária												Q'_D	Q_e	$P \%$					
	6	7	8	9	10	11	12	13	14	15	16	17	18	19	Σn					
01	0	15	45	60	60	60	6	21	15	60	48	15	0	0	405	424	269	504	29,7	
04	0	0	0	24	9	0	9	21	36	33	0	0	0	0	132	169	523	349	34,4	
12	0	0	0	12	15	18	18	18	18	60	15	30	0	0	204	236	456	376	30,7	
19	0	0	45	60	60	60	48	60	60	54	0	0	0	0	447	550	143,	589	27,3	
20	0	45	60	60	60	60	45	60	60	60	27	0	0	0	591	632	60	688	93,3	
23	0	0	0	21	33	18	18	9	12	0	27	6	9	0	153	172	521	416	46,8	
24	0	0	12	36	33	30	30	27	3	0	0	0	0	0	171	212	480	539	68,1	
25	0	0	36	36	54	33	24	36	60	60	51	0	0	0	390	458	235	535	32,8	
26	0	0	0	0	0	9	0	0	9	0	0	0	0	0	18	26	667	293	40,0	
28	0	24	36	18	9	30	50	57	60	36	30	0	0	0	350	427	265	468	15,5	
29	0	6	21	27	0	0	0	0	3	0	0	0	0	0	57	41	651	272	35,5	
Média do período																265	304	388	457	41,3

TABELA 13 - Valores obtidos de n (insolação horária, em min.hora⁻¹), Σn (insolação total, em min.dia⁻¹), Q_D (radiação solar global em dias claros em cal.cm⁻².dia⁻¹), Q'_D (energia incidente sobre as nuvens, em cal.cm⁻².dia⁻¹), Q_e (radiação medida pelo piranômetro Eppley, em cal.cm⁻².dia⁻¹) e valores ajustados de P (porcentagem de energia transmitida pelas nuvens): Manaus, AM, Janeiro de 1978.

Insolação Horária												Σn	Q_D	Q'_D	Q_e	P %	1	1	1	1	
Dias	6	7	8	9	10	11	12	13	14	15	16	17	18	19	1	1	1	1	1		
01	0	0	0	0	0	0	12	12	0	0	0	0	0	0	24	33	565	210	31,3		
03	0	0	30	0	12	0	0	0	0	0	0	0	0	0	42	24	573	320	51,7		
05	0	0	42	12	0	0	6	0	0	0	0	0	0	0	60	33	564	247	37,9		
10	0	0	0	0	12	0	0	54	30	18	0	0	0	0	114	149	449	237	19,6		
12	0	0	51	6	27	39	60	15	6	24	0	0	0	0	234	243	355	314	20,0		
13	0	0	0	0	57	36	18	60	30	0	6	60	15	0	282	291	307	447	50,8		
15	0	0	12	60	60	60	60	42	48	18	60	42	0	0	522	500	98	533	33,7		
17	0	0	0	0	0	0	0	0	0	24	51	0	0	0	75	64	533	297	43,7		
18	0	0	0	0	0	24	60	60	60	48	0	0	0	0	252	338	259	377	15,1		
19	0	0	0	0	0	0	0	0	0	6	54	24	48	0	0	132	102	496	144	8,5	
20	0	0	0	0	0	0	0	0	36	36	12	6	48	0	0	174	185	412	287	24,8	
22	0	0	0	0	0	0	0	0	0	0	6	60	12	0	0	138	122	476	395	57,4	
23	0	0	0	0	0	0	6	60	42	60	60	33	54	0	0	375	418	179	472	30,2	
24	0	0	0	0	0	18	60	6	0	0	0	0	0	0	84	86	512	244	30,9		
26	0	0	0	0	0	0	0	6	12	3	18	6	36	30	3	0	114	98	500	340	48,4
27	0	0	0	48	6	45	54	60	48	6	0	0	0	0	267	304	293	379	25,6		
29	0	0	0	15	0	0	0	0	0	30	54	54	30	0	0	198	166	432	323	36,3	
														182	186	412	327	33,3			
														Média do período							

TABELA 14 - Valores obtidos de Σn (insolação horária, em min.hora $^{-1}$), ΣQ_D (insolação total, em min.dia $^{-1}$), Q_D (radiação solar global em dias claros em cal.cm $^{-2}$.dia $^{-1}$), Q'_D (energia incidente sobre às nuvens, em cal.cm $^{-2}$.dia $^{-1}$), Q_e (radiação medida pelo Piranômetro Eppley, em cal.cm $^{-2}$.dia $^{-1}$) e valores ajustados de P (porcentagem de energia transmitida pelas nuvens). Manaus, AM. Fevereiro de 1978.

Dias	Insolação Horária												Q'_D	Q_e	P %	
	6	7	8	9	10	11	12	13	14	15	16	17	18	19	Σn	Q_D
01	0	0	0	0	6	6	24	30	54	6	0	0	0	0	126	175
02	0	0	0	6	33	0	0	0	0	0	0	0	0	0	39	41
03	0	0	0	12	0	0	0	0	0	0	0	0	0	0	24	16
06	0	0	0	0	0	6	24	6	0	0	0	0	0	0	36	53
07	0	0	0	0	39	24	24	54	48	18	57	12	9	0	285	326
08	0	0	0	0	24	6	6	0	0	0	0	0	0	0	36	44
09	0	0	0	0	0	0	24	0	0	0	0	0	0	0	24	35
10	0	0	0	0	0	12	48	27	36	60	54	39	6	0	282	300
12	0	0	0	0	0	6	0	54	15	0	0	0	0	0	75	108
13	0	0	0	0	9	0	42	48	6	0	0	0	0	0	105	144
15	0	0	0	0	0	0	0	0	45	30	24	18	0	0	123	129
16	0	18	60	9	0	12	0	0	0	0	0	0	0	0	99	47
17	0	0	0	0	18	54	12	12	60	3	0	0	0	0	159	207
18	0	0	0	0	0	0	18	0	18	60	57	24	15	0	192	172
19	0	0	0	24	60	60	48	30	0	0	0	0	0	0	282	367
20	0	0	0	0	0	0	0	0	18	36	48	36	0	0	138	116
24	0	0	0	0	0	0	0	30	30	18	0	0	0	0	78	113
25	0	3	6	21	12	9	6	30	0	0	0	0	0	0	132	122
26	0	0	0	12	27	6	0	0	0	0	0	0	0	0	45	47
28	0	12	21	27	18	6	0	18	57	54	42	12	0	0	267	259
																127
																141
																477
																276
																28,2

Média do período

TABELA 15 - Valores obtidos de n (insolação horária, em min.hora $^{-1}$), Σn (insolação total, em min.dia $^{-1}$), Q_D (radiação solar global em dias claros em cal.cm $^{-2}.\text{dia}^{-1}$), Q'_D (energia incidente sobre as nubes, em cal.cm $^{-2}.\text{dia}^{-1}$), Q_e (radiação medida pelo Piranômetro Eppley, em cal.cm $^{-2}.\text{dia}^{-1}$) e valores ajustados de P (porcentagem de energia transmitida pelas nubes). Manaus, AM. Março de 1978.

Dias	Insolação Horária												Q_D	Q'_D	Q_e	$P\%$				
	6	7	8	9	10	11	12	13	14	15	16	17	18	19	Σn					
02	0	0	24	60	60	36	12	18	0	0	0	0	0	0	270	301	320	377	23,8	
05	0	0	0	18	18	54	0	0	0	0	0	0	0	0	150	197	424	208	2,6	
06	0	0	12	60	60	60	60	54	36	6	12	0	0	0	420	553	68	619	97,1	
12	0	30	60	60	60	54	48	60	54	60	54	6	0	0	558	581	40	589	20,0	
15	0	0	0	18	18	6	36	57	36	0	0	0	0	0	207	268	353	295	7,6	
16	0	0	15	60	60	48	6	0	0	0	0	0	0	0	189	194	427	343	34,9	
20	0	0	0	0	0	0	0	0	0	0	0	0	0	0	6	5	616	223	35,4	
22	0	0	30	54	6	0	6	54	3	0	0	0	0	0	153	154	467	289	28,9	
23	0	0	0	0	0	30	36	0	0	0	0	0	0	0	66	95	526	297	38,4	
24	0	0	0	0	0	18	60	3	0	54	0	21	36	6	0	198	211	410	289	19,0
25	0	0	0	0	30	54	60	48	60	30	24	27	0	0	393	471	149	485	9,4	
27	0	0	0	45	12	0	36	60	48	12	18	0	0	0	231	285	336	380	28,3	
28	0	6	6	27	6	0	0	0	0	0	0	0	0	0	45	30	591	184	26,1	
30	0	0	0	0	0	0	30	6	0	0	0	0	0	0	36	54	567	135	14,3	
31	0	0	0	12	36	48	0	18	36	42	18	0	0	0	210	252	369	311	16,0	
															209	243	378	335	26,8	
Média do período																				

TABELA 16 - Valores obtidos de n (insolação horária, em min.hora $^{-1}$), Σn (insolação total, em min.dia $^{-1}$), Q_D (radiação solar global em dias claros em cal.cm $^{-2} \cdot dia^{-1}$), Q'_D (energia incidente sobre as nubes, em cal.cm $^{-2} \cdot dia^{-1}$), Q_e (radiação medida pelo Piranômetro Eppley, em cal.cm $^{-2} \cdot dia^{-1}$) e valores ajustados de P (porcentagem de energia transmitida pelas nubes). Manaus, AM. Abril de 1978.

Dias	Insolação Horária												Q_D	Q'_D	Q_e	P %			
	6	7	8	9	10	11	12	13	14	15	16	17	18	19					
04	0	0	0	0	0	30	0	6	42	60	48	3	0	249	226	359	383		
05	0	0	6	51	42	39	36	0	12	0	0	0	0	186	198	387	480		
06	0	0	30	60	60	60	42	60	60	60	24	0	0	516	533	52	552		
07	0	0	0	3	38	18	60	60	54	36	12	0	0	291	363	221	380		
11	0	0	0	0	18	60	60	48	48	12	45	60	3	0	354	378	206	474	
12	0	0	0	0	0	12	45	39	30	39	0	0	0	165	219	365	429	57,5	
15	0	0	0	6	0	24	0	0	0	0	18	45	6	0	99	56	528	172	
16	0	15	24	0	0	0	0	0	0	0	0	0	0	0	39	9	576	244	
17	0	18	48	54	54	30	18	27	0	0	0	0	0	0	249	216	368	285	
19	0	0	6	0	0	0	0	0	0	12	36	36	0	0	90	53	531	127	
21	0	0	0	0	6	0	42	18	60	3	0	0	0	0	135	177	408	198	
22	0	0	0	6	18	0	0	0	0	0	0	0	0	0	0	24	15	569	
23	0	0	0	0	24	57	30	0	39	60	64	6	3	0	0	273	312	272	
24	0	0	0	6	60	69	57	60	8	48	42	6	0	0	393	422	162	444	
26	0	0	0	0	42	57	60	42	21	54	48	6	21	0	0	351	390	194	
27	0	18	42	60	60	54	45	30	48	24	39	57	6	0	483	434	150	549	
28	0	0	0	0	30	48	15	0	0	54	18	0	0	0	165	181	404	220	
29	0	0	0	0	6	60	54	51	48	12	0	0	0	0	243	306	278	382	
30	0	24	60	57	60	60	48	18	0	0	0	0	0	0	327	298	287	401	
Média do período															244	252	332	357	32,9

TABELA 17 - Valores obtidos de n (insolação horária, em min.hora $^{-1}$), Σn (insolação total, em min.dia $^{-1}$), Q_D (radiação solar global em dias claros em cal.cm $^{-2} \cdot dia^{-1}$), Q'_D (energia incidente sobre as nuvens, em cal.cm $^{-2} \cdot dia^{-1}$), Q_e (radiação medida pelo Piranômetro Eppley, em cal.cm $^{-2} \cdot dia^{-1}$) e valores ajustados de P (porcentagem de energia transmitida pelas nuvens). Manaus, AM. Maio de 1978.

Dias	Insolação Horária												Σn	Q_D	Q'_D	Q_e	$P\%$				
	6	7	8	9	10	11	12	13	14	15	16	17									
03	0	0	0	0	0	24	0	0	0	0	0	0	0	24	31	522	223	36,8			
04	0	0	0	0	0	0	0	0	33	6	57	30	0	0	126	92	461	324	50,3		
05	0	18	12	24	0	0	0	0	0	0	0	0	0	0	54	20	533	216	36,8		
06	0	12	12	30	24	57	30	36	0	0	0	0	0	0	231	237	317	342	33,1		
07	0	0	0	0	0	24	60	45	42	24	0	3	0	0	198	241	312	375	42,9		
08	0	0	0	0	0	42	60	54	6	18	54	39	3	0	0	276	291	262	449	60,3	
09	0	0	0	0	0	0	0	0	12	6	0	0	0	0	0	18	23	530	177	29,1	
10	0	0	0	0	0	0	0	30	48	30	0	0	0	0	0	108	138	415	292	37,1	
11	0	0	0	0	0	0	0	0	0	0	0	0	0	0	0	72	24	525	259	44,8	
12	0	0	0	0	0	0	0	0	0	0	0	18	54	0	0	480	441	112	498	50,9	
13	0	0	18	48	60	51	60	60	42	24	60	54	3	0	0	480	441	112	498	50,9	
14	0	0	0	0	6	9	18	54	12	0	12	0	0	0	0	111	133	420	219	20,5	
15	0	0	0	0	18	48	57	48	18	0	0	0	0	0	0	189	213	340	348	39,7	
16	0	0	36	60	42	3	0	6	0	0	0	0	0	0	0	447	103	450	274	38,0	
17	0	18	42	54	60	60	54	60	60	27	0	0	0	0	0	435	426	127	450	18,9	
18	0	0	24	60	54	60	60	51	60	42	60	48	0	0	0	570	483	70	524	58,6	
19	0	0	24	48	18	0	0	3	42	42	18	36	0	0	0	231	174	379	337	43,0	
20	0	0	6	18	18	42	0	0	0	0	0	0	0	0	0	84	81	472	302	46,8	
21	0	0	0	0	0	0	0	0	0	0	0	12	36	0	0	48	19	534	171	28,5	
22	0	0	0	0	30	0	0	0	0	45	0	0	0	0	0	75	74	480	412	70,4	
23	0	0	0	0	0	24	48	24	48	54	51	0	0	0	0	195	289	264	358	26,1	
24	0	0	21	54	53	48	24	24	42	39	48	18	0	0	0	372	340	213	446	49,8	
25	0	0	0	0	0	0	0	0	24	36	36	0	0	0	0	96	109	444	336	51,1	
26	0	0	0	0	42	0	54	30	60	45	42	0	0	0	0	273	289	264	433	54,5	
27	0	0	0	0	0	24	36	57	24	45	58	60	6	0	0	375	376	177	463	49,2	
28	0	0	0	0	39	36	0	42	60	51	36	0	0	0	0	225	256	297	275	6,4	
29	0	0	6	6	24	0	42	0	42	54	6	0	0	0	0	180	187	366	271	23,0	
30	0	0	6	36	36	42	0	0	0	0	0	0	0	0	0	0	0	0	0	0	
31	0	0	0	6	36	42	54	6	0	0	0	0	0	0	0	180	187	366	271	23,0	
Média do período																	200	196	357	337	40,3

TABELA 18 - Valores obtidos de n (insolação horária, em min.hora $^{-1}$), Σn (insolação total, em min.dia $^{-1}$), Q_D (radiação solar global em dias claros em cal.cm $^{-2} \cdot dia^{-1}$), Q'_D (energia incidente sobre as nuvens, em cal.cm $^{-2} \cdot dia^{-1}$), Q_e (radiação medida pelo Piranômetro Eppley, em cal.cm $^{-2} \cdot dia^{-1}$) e valores ajustados de P (porcentagem de energia transmitida pelas nuvens). Manaus, AM. Junho de 1978.

Dias	Insolação Horária												Σn	Q_D	Q'_D	Q_e	$P\%$				
	6	7	8	9	10	11	12	13	14	15	16	17									
02	0	0	24	30	0	0	0	6	60	57	0	0	177	122	380	303	47,6				
03	0	6	6	0	0	0	0	0	0	12	3	0	0	27	9	493	315	62,1			
04	0	0	15	24	45	60	60	60	60	60	42	0	0	426	401	101	437	35,6			
05	0	0	0	0	0	18	24	36	30	60	42	0	0	210	169	333	358	56,8			
06	0	0	0	0	0	0	30	60	60	36	0	45	0	0	240	231	271	412	66,8		
07	0	0	0	6	3	0	30	60	60	36	0	45	0	0	240	231	271	412	66,8		
08	0	6	60	60	60	54	0	0	0	0	0	0	0	0	300	243	259	387	55,6		
09	0	0	48	60	60	48	47	60	24	0	12	24	0	0	384	334	168	497	97,0		
10	0	0	0	0	39	60	45	3	0	0	0	0	0	0	143	92	410	410	77,6		
11	0	0	0	0	18	0	36	42	0	0	0	0	0	0	0	0	114	128	374	285	42,0
12	0	0	0	0	48	60	42	48	60	42	60	54	3	0	0	441	408	94	497	94,7	
13	0	0	0	0	36	15	0	0	0	0	0	0	0	0	0	41	55	447	298	54,4	
14	0	0	0	0	48	60	42	48	60	42	60	54	3	0	0	441	408	94	497	94,7	
15	0	0	0	0	36	15	0	0	0	0	0	0	0	0	0	0	0	0	0	0	
16	0	0	0	0	48	60	42	48	60	42	60	54	3	0	0	441	408	94	497	94,7	
17	0	0	0	0	36	15	0	0	0	0	0	0	0	0	0	0	0	0	0	0	
18	0	0	0	0	18	60	60	60	60	48	48	39	0	0	573	476	26	498	84,6		
19	0	0	0	0	48	60	42	60	36	51	48	24	0	12	0	0	339	337	165	474	83,0
20	0	0	0	0	18	60	60	60	60	60	60	36	0	0	186	112	390	368	65,6		
21	0	0	0	0	48	60	42	60	36	54	30	30	36	0	0	408	342	160	497	96,9	
22	0	0	0	0	12	12	0	0	0	0	60	60	42	30	36	0	0	385	117	499	97,4
23	0	0	0	0	57	6	54	30	30	36	60	48	30	36	0	0	480	385	117	499	97,4
24	0	0	0	0	36	60	60	60	60	42	30	48	30	36	0	0	480	385	117	499	97,4
25	0	0	0	0	18	60	60	60	60	48	48	39	0	0	573	476	26	498	84,6		
26	0	0	0	0	48	60	42	60	36	51	48	24	0	12	0	0	339	337	165	474	83,0
27	0	0	0	0	12	12	0	0	0	0	6	60	60	36	0	0	186	112	390	368	65,6
28	0	0	0	0	57	6	54	30	30	36	60	42	30	36	0	0	408	342	160	497	96,9
29	0	0	0	0	36	60	60	60	60	42	30	48	30	36	0	0	480	385	117	499	97,4
Média do período																	281	240	262	408	69,9

TABELA 19 - Valores obtidos de n (insolação horária, em min.hora⁻¹), Σn (insolação total, em min.dia⁻¹), Q_D (radiação solar global em dias claros em cal.cm⁻².dia⁻¹), Q'_D (energia incidente sobre as nuvens, em cal.cm⁻².dia⁻¹), Q_e (radiação medida pelo Piranômetro Eppley, em cal.cm⁻².dia⁻¹) e valores ajustados de P (porcentagem de energia transmitida pelas nuvens). Manaus, AM. Julho de 1978.

Dias	Insolação Horária												Q'_D	Q_e	P %			
	6	7	8	9	10	11	12	13	14	15	16	17	18	19	Σn			
01	0	0	42	60	60	60	36	60	48	60	12	0	0	0	402	416	99	
03	0	0	6	6	0	0	0	0	0	0	0	0	0	0	12	16	509	
04	0	0	6	30	60	60	42	42	0	0	0	0	0	0	96	266	249	
05	0	24	36	60	60	60	48	0	0	0	36	0	0	0	324	245	269	
06	0	0	27	60	60	60	60	60	48	24	0	0	0	0	399	401	114	
07	0	0	36	48	60	60	36	0	6	6	0	0	0	0	312	297	218	
08	0	3	60	60	60	60	60	60	36	0	0	0	0	0	339	374	141	
10	0	15	24	0	24	60	54	30	0	0	0	0	0	0	207	205	310	
11	0	0	0	6	0	0	0	0	0	0	0	0	0	0	6	4	511	
14	0	0	0	45	60	60	60	60	60	60	54	27	0	0	486	473	42	
16	0	18	60	60	60	60	60	60	60	45	0	0	0	0	483	444	71	
18	0	18	60	60	60	57	48	60	30	0	6	0	0	0	549	412	102	
21	0	0	0	48	12	27	24	30	60	36	60	18	0	0	315	287	227	
23	0	12	60	60	60	60	60	60	48	60	6	0	0	0	486	448	67	
27	0	18	60	60	54	6	18	6	12	54	60	60	0	0	408	263	252	
28	0	15	51	42	18	60	54	27	0	0	6	18	0	0	291	252	263	
30	0	0	0	0	0	0	0	0	0	27	48	0	0	0	81	63	451	
31	0	12	6	0	6	18	57	48	45	6	18	0	0	0	264	267	247	
															303	285	230	
															405	405	61,5	
Média do período																		

TABELA 20 - Valores obtidos de η (insolação horária, em min.hora⁻¹), Σn (insolação total, em min.dia⁻¹), Q_D (radiação solar global em dias claros em cal.cm⁻².dia⁻¹), Q_d' (energia incidente sobre as nuvens, em cal.cm⁻².dia⁻¹), Q_e (radiação medida pelo Piranômetro Eppley, em cal.cm⁻².dia⁻¹) e valores ajustados de P (porcentagem de energia transmitida pelas nuvens). Manaus, AM. Agosto de 1978.

Dias	Insolação Horária												Σn	Q_D	Q_d'	Q_e	P %		
	6	7	8	9	10	11	12	13	14	15	16	17							
01	0	18	60	48	60	42	0	0	6	6	0	0	0	240	179	377	34,2		
02	0	3	60	60	54	24	60	60	48	0	0	0	0	429	326	230	433		
08	0	24	60	60	60	60	60	60	60	48	3	0	0	615	550	6	553		
11	0	24	60	60	60	60	60	60	54	60	60	0	0	618	547	9	553		
12	0	18	60	60	60	60	60	60	18	0	12	24	0	0	432	397	159	472	
13	0	0	30	60	60	60	60	60	57	60	3	0	0	450	482	75	494		
14	0	0	0	18	18	0	0	0	0	0	0	0	0	36	31	526	247	41,1	
15	0	3	18	51	30	30	24	48	60	60	45	0	0	429	397	160	463	41,9	
18	0	0	0	0	36	60	42	60	30	0	42	60	6	0	336	334	222	388	24,3
21	0	0	24	54	0	0	24	48	57	60	60	12	0	339	335	222	428	41,9	
22	0	0	42	60	57	60	48	12	42	60	60	3	0	504	441	115	489	41,7	
29	0	12	60	60	60	60	60	48	48	45	0	0	0	573	529	27	533	14,8	
														417	379	177	447	38,9	

TABELA 21 - Valores obtidos de n (insolação horária, em min.hora⁻¹), Σn (insolação total, em min.dia⁻¹), Q_D (radiação solar global em dias claros em cal.cm⁻².dia⁻¹), Q'_D (energia incidente sobre as nuvens, em cal.cm⁻².dia⁻¹), Q_e (radiação medida pelo Piranômetro Eppley, em cal.cm⁻².dia⁻¹) e valores ajustados de P (porcentagem de energia transmitida pelas nuvens). Manaus, AM. Setembro de 1978.

Dias	Insolação Horária												Q'_D	Q_e	P %	
	6	7	8	9	10	11	12	13	14	15	16	17	18	19	Σn	Q_D
01	0	27	60	60	60	60	60	60	36	48	60	18	12	0	561	539
03	0	0	60	60	60	60	60	60	30	42	30	0	0	0	522	541
05	0	0	0	0	0	0	33	36	45	60	60	54	0	0	288	290
06	0	0	0	0	0	0	18	57	6	60	3	0	0	0	144	184
07	0	0	18	60	15	30	60	60	27	27	0	0	0	0	270	308
08	0	0	45	57	60	60	60	54	54	42	0	0	0	0	492	540
09	0	0	0	0	0	6	60	33	18	18	42	0	0	0	159	191
10	0	0	0	0	36	0	3	0	0	0	0	0	0	0	63	75
13	0	0	3	33	30	57	0	0	24	24	48	6	0	0	261	285
18	0	0	6	15	60	60	57	60	51	0	0	0	0	0	369	463
21	0	0	48	60	60	57	60	64	48	60	3	0	0	0	510	548
22	0	0	3	60	60	60	54	60	54	33	0	0	0	0	444	520
24	0	0	0	18	6	0	0	0	0	0	0	0	0	0	24	21
														Σn	Q_D	
														316	347	
														255	464	
														44,4		
														Média do período		

TABELA 22 - Valores obtidos de n (insolação horária, em min.hora⁻¹), Σn (insolação total, em min.dia⁻¹), Q_D (radiação solar global em dias claros em cal.cm⁻².dia⁻¹), Q'_D (energia incidente sobre as nuvens, em cal.cm⁻².dia⁻¹), Q_e (radiação medida pelo Piranômetro Eppley, em cal.cm⁻².dia⁻¹) e valores ajustados de P (porcentagem de energia transmitida pelas nuvens). Manaus, AM. Outubro de 1978.

Dias	Insolação Horária												Q_D	Q'_D	Q_e	$P\%$		
	6	7	8	9	10	11	12	13	14	15	16	17	Σn					
01	0	0	0	60	60	60	54	39	0	0	0	0	333	415	201	65,7		
02	0	0	0	48	60	60	42	12	0	12	45	3	0	342	378	428	21,0	
04	0	3	60	60	60	36	60	48	27	0	0	0	0	414	454	162	482	
05	0	0	0	3	0	3	60	60	48	60	36	12	0	282	348	269	453	
06	0	0	0	18	12	51	3	0	0	30	60	42	0	0	216	196	420	
07	0	0	0	0	0	0	42	15	12	15	0	0	0	84	117	499	253	
08	0	0	0	0	0	0	0	0	0	54	48	0	0	0	102	97	519	
12	0	0	0	0	0	0	0	0	15	45	0	0	0	60	83	533	327	
13	0	36	60	60	60	60	60	60	60	60	45	24	0	0	585	588	29	
16	0	0	0	12	36	0	0	24	24	24	60	30	0	0	210	202	415	378
17	0	0	0	60	60	60	54	42	42	57	12	0	0	0	465	515	101	523
18	0	0	0	0	12	24	42	60	48	48	39	54	0	0	327	202	251	538
19	0	12	30	60	42	60	60	60	60	60	60	3	0	527	581	36	603	
22	0	0	48	60	60	60	24	0	0	0	0	0	0	312	337	280	462	
27	0	0	60	60	60	60	60	60	60	60	30	0	0	570	600	16	612	
30	0	0	39	30	54	21	39	0	0	30	15	0	0	252	248	368	417	
Média do período												318	335	271	454	43,8		

TABELA 23 - Valores obtidos de n (insolação horária, em min.hora⁻¹), Σn (insolação total, em min.dia⁻¹), Q_D (radiação solar global em dias claros em cal.cm⁻².dia⁻¹), Q_d' (energia incidente sobre as nubes, em cal.cm⁻².dia⁻¹), Q_e (radiação medida pelo Piranômetro Eppley, em cal.cm⁻².dia⁻¹) e valores ajustados de P (porcentagem de energia transmitida pelas nubes). Manaus, AM. Novembro de 1978.

TABELA 24 - Valores obtidos de n (insolação horária, em min.hora⁻¹), Σn (insolação total, em min.dia⁻¹), Q_D (radiação solar global em dias claros em cal.cm⁻².dia⁻¹), Q'_D (energia incidente sobre as nuvens, em cal.cm⁻².dia⁻¹), Q_e (radiação medida pelo Piranômetro Eppley, em cal.cm⁻².dia⁻¹) e valores ajustados de P (porcentagem de energia transmitida pelas nuvens). Manaus, AM. Dezembro de 1978.

Dias	Insolação Horária												Q_D	Q'_D	Q_e	$P\%$			
	6	7	8	9	10	11	12	13	14	15	16	17	Σn						
02	0	0	0	0	51	12	3	39	51	60	30	0	0	246	246	342	392		
03	0	0	6	48	45	60	33	6	0	0	0	0	0	198	217	371	493		
04	0	0	30	6	6	0	12	42	0	30	12	48	0	0	186	159	429	442	
07	0	0	0	0	0	0	12	0	0	0	0	0	0	0	12	15	573	207	
08	0	0	0	0	0	0	12	12	24	9	54	51	48	0	0	216	197	392	433
09	0	0	0	30	57	27	30	60	48	60	0	6	12	0	0	330	358	230	446
10	0	0	0	54	39	3	15	57	60	54	0	0	0	0	0	282	305	283	320
13	0	0	0	0	0	3	57	36	0	0	0	0	0	0	0	96	135	454	237
14	0	15	57	33	3	27	6	0	54	54	6	0	0	0	0	255	224	365	313
15	0	15	6	54	42	30	33	54	18	57	39	12	0	0	0	345	364	224	518
16	0	0	0	0	6	24	33	3	0	0	0	0	0	0	0	66	88	501	197
17	0	0	0	0	0	0	24	45	12	45	30	0	0	0	0	156	182	406	382
18	0	0	0	0	0	12	18	33	51	42	12	33	0	0	0	201	218	370	357
19	0	0	12	15	60	60	42	0	0	0	0	0	0	0	0	189	215	373	487
20	0	0	6	36	60	42	60	60	60	12	57	27	0	0	0	420	457	131	563
26	0	0	0	0	0	6	6	18	30	42	60	12	0	0	0	174	208	381	398
27	0	0	0	0	42	24	12	60	48	12	51	45	33	0	0	327	339	250	437
28	0	0	0	0	0	0	9	54	42	3	33	12	0	0	0	153	194	394	378
29	0	0	6	27	36	51	57	54	60	36	24	39	0	0	0	390	430	159	498
30	0	0	0	12	12	27	0	0	27	24	0	0	0	0	0	102	116	472	291
															217	233	355	389	457
Média do período																			

TABELA 25 - Valores de Σn (insolação total, em $\text{min} \cdot \text{dia}^{-1}$), Q_D (radiação solar global em dias claros, em $\text{cal} \cdot \text{cm}^{-2} \cdot \text{dia}^{-1}$), Q_d (energia transmitida pelas nuvens, em $\text{cal} \cdot \text{cm}^{-2} \cdot \text{dia}^{-1}$), Q_h (radiação estimada pelo método proposto, em $\text{cal} \cdot \text{cm}^{-2} \cdot \text{dia}^{-1}$), Q_e (radiação medida pelo Piranômetro Eppley, em $\text{cal} \cdot \text{cm}^{-2} \cdot \text{dia}^{-1}$). Piracicaba, SP. Janeiro e Fevereiro de 1965.

Dias	JANEIRO					FEVEREIRO					
	Q_h	Q_d	Q_h	Q_e	Dias	Σn	Q_h	Q_d	Q_h	Q_e	
	Q_D	Q_D	Q_D	Q_D		(distribuição)	Q_D	Q_D	Q_D		
15	354	445	154	599	632	01	114	103	245	348	456
18	219	205	298	503	486	02	513	535	107	642	628
20	480	448	152	600	585	04	9	9	288	297	283
24	372	395	184	579	638	05	281	276	167	443	470
25	249	265	262	527	506	10	641	569	36	605	632
26	303	394	184	578	523	11	555	536	50	586	613
27	387	487	128	615	623	12	300	400	112	512	486
30	111	98	362	460	413	13	184	204	200	404	328
						14	105	128	227	355	287
						15	315	386	118	504	452
						17	537	603	20	623	636
						19	576	611	17	628	621
						20	237	314	150	464	434
						22	190	212	196	408	413
						23	258	332	142	474	407
						24	225	271	170	441	433
						25	222	253	177	430	423
						26	174	208	198	406	356
						28	201	253	178	431	466
\bar{x}	309	342	216	558	551		297	326	147	474	464

TABELA 26 - Valores de Σ_n (insolação total, em $\text{min} \cdot \text{dia}^{-1}$), Q_D (radiação solar global em dias claros, em $\text{cal} \cdot \text{cm}^{-2} \cdot \text{dia}^{-1}$), Q_d (energia transmitida pelas nuvens, em $\text{cal} \cdot \text{cm}^{-2} \cdot \text{dia}^{-1}$), Q_h (radiação estimada pelo método proposto, em $\text{cal} \cdot \text{cm}^{-2} \cdot \text{dia}^{-1}$), Q_e (radiação medida pelo Piranômetro Eppley, em $\text{cal} \cdot \text{cm}^{-2} \cdot \text{dia}^{-1}$). Piracicaba, Sp. Março e Abril de 1965.

MARÇO							ABRIL						
Dias	Σn	Q_h (distribuição)	Q_h	Q_e	Dias	Σn	Q_h (distribuição)	Q_h	Q_d	Q_e	\bar{n}		
01	156	131	204	335	421	06	449	408	33	441	445		
02	354	403	79	482	432	09	147	60	239	299	267		
03	36	46	243	289	290	13	537	423	25	448	439		
04	306	279	136	415	493	20	552	431	20	451	464		
05	345	398	81	479	475	21	347	306	93	399	418		
06	252	266	142	408	422	25	462	368	57	425	448		
08	153	154	194	348	440	26	171	136	194	330	320		
09	48	25	253	278	163	27	219	136	194	330	297		
16	87	78	229	307	326	28	295	282	107	389	339		
17	270	210	167	377	380								
18	336	332	112	444	394								
19	249	237	155	392	395								
20	459	413	74	487	525								
23	181	203	171	374	330								
24	336	374	92	466	437								
25	378	436	64	500	513								
26	274	291	130	421	374								
\bar{n}	248	252	149	400	401								
						\bar{n}	353	283	107	390	382		

TABELA 27 - Valores de Σn (insolação total, em min.dia⁻¹), Q_D (radiação solar global em dias claros, em cal.cm⁻².dia⁻¹), Q_d (energia transmitida pelas nuvens, em cal.cm⁻².dia⁻¹), Q_h (radiação estimada pelo método proposto, em cal.cm⁻².dia⁻¹), Q_e (radiação medida pelo Piranômetro Eppley, cal.cm⁻².dia⁻¹). Piracicaba, SP. Maio e Junho de 1965.

Dias	Σn	MAIO				JUNHO			
		Q_h	Q_D	Q_d	Q_e	Dias	Σn	Q_h	Q_D
04	317	312	60	372	409	08	75	60	154
05	483	422	21	443	457	10	75	46	163
06	384	343	49	392	407	11	33	21	178
10	129	144	119	263	286	12	246	132	111
12	48	12	165	177	170	18	366	227	55
13	246	201	99	300	237	19	333	203	69
15	6	7	167	174	145	22	126	41	166
16	375	382	36	418	404	23	177	133	111
19	135	66	146	212	245	25	303	181	82
21	362	245	83	328	320				263
22	420	381	36	417	394				271
R	264	229	89	318	316				232

Q_h (distribuição) Q_D Q_d Q_e

Q_h (distribuição) Q_D Q_d

TABELA 28 - Valores de Σ_n (insolação total, em min.dia⁻¹), Q_D (radiação solar global em dias claros, em cal.cm⁻².dia⁻¹), Q_d (energia transmitida pelas nuvens, em cal.cm⁻².dia⁻¹), Q_h (radiação estimada pelo método proposto, em cal.cm⁻².dia⁻¹), Q_e (radiação medida pelo Piranômetro Eppley, em cal.cm⁻².dia⁻¹). Piracicaba, SP. Julho e Agosto de 1965.

TABELA 29 - Valores de Σn (insolação total, em min.dia $^{-1}$). Q_D (radiação solar global em dias claros, em cal.cm $^{-2} \cdot \text{dia}^{-1}$), Q_d (energia transmitida pelas nuvens, em cal.cm $^{-2} \cdot \text{dia}^{-1}$), Q_h (radiação estimada pelo método proposto, em cal.cm $^{-2} \cdot \text{dia}^{-1}$), Q_e (radiação medida pelo Piranômetro Eppley, em cal.cm $^{-2} \cdot \text{dia}^{-1}$). Piracicaba, SP. Setembro e Outubro de 1965.

Dias	Σn	Setembro				Outubro					
		Q_h (distribuição)	Q_h	Q_e	Dias	Σn	Q_h (distribuição)	Q_h	Q_e		
		Q_D	Q_d				Q_D	Q_d			
01	441	432	43	475	441	02	333	304	153	457	384
08	513	495	12	507	503	03	426	384	110	494	526
11	12	14	244	258	275	06	501	522	35	557	558
12	69	87	209	296	280	07	399	401	102	503	521
20	363	342	89	431	413	08	21	19	307	326	177
23	531	422	48	470	515	09	292	317	146	463	404
24	105	107	199	306	437	17	462	511	42	553	573
25	375	322	96	418	471	18	70	38	296	334	281
26	30	23	239	262	146	20	447	511	41	552	569
28	196	150	178	328	350	21	279	248	184	432	512
30	123	118	194	312	316	25	228	246	185	431	386
						28	18	24	305	329	350
						29	30	33	299	332	262
M	251	228	141	369	377	M	270	274	170	443	423

TABELA 30 - Valores de Σ_n (insolação total, em min.dia⁻¹), Q_D (radiação solar global em dias claros, em cal.cm⁻².dia⁻¹), Q_d (energia transmitida pelas nuvens, em cal.cm⁻².dia⁻¹), Q_h (radiação estimada pelo método proposto, em cal.cm⁻².dia⁻¹), Q_e (radiação medida pelo Piranômetro Eppley, em cal.cm⁻².dia⁻¹). Piracicaba, SP. Novembro e Dezembro de 1965.

TABELA 31 - Valores de Σn (insolação total, em min.dia⁻¹), Q_D (radiação solar global em dias claros, em cal.cm⁻².dia⁻¹), Q_d (energia transmitida pelas nuvens, em cal.cm⁻².dia⁻¹), Q_h (radiação estimada pelo método proposto, em cal.cm⁻².dia⁻¹), Q_e (radiação medida pelo Piranômetro Eppley, em cal.cm⁻².dia⁻¹). Manaus, AM. Janeiro e Fevereiro de 1978.

Dias	Σn	Q_h		Q_e		Dias	Σn	Q_h		Q_e
		Q_D	(distribuição)	Q_d	Q_h			Q_D	(distribuição)	
01	24	33	186	219	210	01	126	175	124	299
03	42	24	189	213	320	02	39	41	162	347
05	60	33	186	219	247	03	24	16	169	203
10	114	149	148	297	237	06	36	53	158	146
12	234	243	117	360	314	07	285	326	82	185
13	282	291	101	392	447	08	36	44	161	350
15	522	500	32	532	533	09	24	35	161	205
17	75	64	176	240	297	10	282	300	89	147
18	252	338	85	423	377	12	75	108	143	205
19	132	102	164	266	144	13	105	144	133	256
20	174	185	136	321	287	15	123	129	137	277
22	138	122	157	279	395	16	99	47	160	409
23	375	418	59	477	472	17	159	207	115	224
24	84	86	169	255	244	18	192	172	125	213
26	114	98	165	263	340	19	282	367	70	268
27	267	304	97	401	379	20	138	116	141	338
29	198	166	143	309	323	24	78	113	141	418
						25	132	122	139	254
						26	47	47	160	302
						28	267	259	101	250
										466
A	182	186	136	322	327					276
						127	141	134		

TABELA 32 - Valores de Σn (insolação total, em $\text{min} \cdot \text{dia}^{-1}$), Q_D (radiação solar global em dias claros, em $\text{cal} \cdot \text{cm}^{-2} \cdot \text{dia}^{-1}$), Q_d (energia transmitida pelas nuvens, em $\text{cal} \cdot \text{cm}^{-2} \cdot \text{dia}^{-1}$), Q_h (radiação estimada pelo método proposto, em $\text{cal} \cdot \text{cm}^{-2} \cdot \text{dia}^{-1}$), Q_e (radiação medida pelo Piranômetro Eppley, em $\text{cal} \cdot \text{cm}^{-2} \cdot \text{dia}^{-1}$). Manaus, AM. Março e Abril de 1978.

TABELA 33 - Valores de Σn (insolação total, em min.dia⁻¹), Q_D (radiação solar global em dias claros, em cal.cm⁻².dia⁻¹), Q_d (energia transmitida pelas nuvens, em cal.cm⁻².dia⁻¹), Q_h (radiação estimada pelo método proposto, em cal.cm⁻².dia⁻¹), Q_e (radiação medida pelo Piranômetro Eppley, em cal.cm⁻².dia⁻¹). Manaus, AM. Maio e Junho de 1978.

TABELA 34 - Valores de Σn (insolação total, em min.dia⁻¹), Q_D (radiação solar global em dias claros, em cal.cm⁻².dia⁻¹), Q_d (energia transmitida pelas nuvens, em cal.cm⁻².dia⁻¹), Q_h (radiação estimada pelo método proposto, em cal.cm⁻².dia⁻¹), Q_e (radiação medida pelo Piranômetro Eppley, em cal.cm⁻².dia⁻¹). Manaus, AM. Julho e Agosto de 1978

TABELA 35 - Valores de Σn (insolação total, em min.dia $^{-1}$), Q_D (radiação solar global em dias claros, em cal.cm $^{-2} \cdot \text{dia}^{-1}$), Q_d (energia transmitida pelas nuvens, em cal.cm $^{-2} \cdot \text{dia}^{-1}$), Q_h (radiação estimada pelo método proposto, em cal.cm $^{-2} \cdot \text{dia}^{-1}$), Q_e (radiação medida pelo Piranômetro Eppley, em cal.cm $^{-2} \cdot \text{dia}^{-1}$). Manaus, AM. Setembro e Outubro de 1978.

Dias	Σn	SETEMBRO				OUTUBRO					
		Q_h		Q_h		Q_h		Q_h			
		Q_D	(distribuição)	Q_d	Q_e	Dias	Σn	(distribuição)	Q_D		
01	561	539	28	567	549	01	333	415	88	503	547
03	522	541	26	567	549	02	342	378	105	483	428
05	288	290	137	427	378	04	414	454	71	525	482
06	144	184	183	367	513	05	282	348	118	466	453
07	270	308	129	437	522	06	216	196	185	381	268
08	492	540	27	567	558	07	84	117	220	337	253
09	159	191	180	371	377	08	102	97	228	325	372
10	63	75	231	306	308	12	60	83	235	318	327
13	261	285	139	424	454	13	585	588	13	601	608
18	369	463	61	524	532	16	210	202	183	385	378
21	510	548	23	571	573	17	465	515	44	559	523
22	444	520	36	556	583	18	327	366	110	476	538
24	24	21	256	277	131	19	567	581	16	597	603
						22	312	337	123	460	462
						27	570	600	7	607	612
						30	252	248	162	410	417
M	316	347	112	459	464	M	318	335	119	465	454

TABELA 36 - Valores de Σn (insolação total, em min.dia $^{-1}$), Q_D (radiação solar global em dias claros, em cal.cm $^{-2} \cdot dia^{-1}$), Q_d (energia transmitida pelas nuvens, em cal.cm $^{-2} \cdot dia^{-1}$), Q_h (radiação estimada pelo método proposto, em cal.cm $^{-2} \cdot dia^{-1}$), Q_e (radiação medida pelo Piranômetro Eppley, em cal.cm $^{-2} \cdot dia^{-1}$). Manaus, AM. Novembro e Dezembro de 1978.

Dias	NOVEMBRO						DEZEMBRO					
	Q_h			Q_e			Dias			Σn (distribuição)		
	Q_D	Σn	(distribuição)	Q_D	Q_h	Q_e	Q_D	Q_h	Q_e	Q_D	Q_h	Q_e
02	132	102	230	332	193	02	246	246	157	403	392	
03	318	394	96	490	515	03	198	217	171	388	493	
06	237	309	135	444	497	04	486	159	197	356	442	
07	279	326	127	453	493	07	12	15	264	279	207	
08	30	32	262	294	196	08	216	197	180	377	433	
09	51	56	256	302	167	09	330	358	106	464	446	
10	276	311	134	445	457	10	282	305	130	435	320	
11	279	318	131	449	509	13	96	135	209	344	237	
13	111	123	221	344	247	14	255	224	168	392	313	
14	516	557	21	578	600	15	345	464	103	467	518	
15	30	20	268	288	211	16	66	88	230	318	197	
16	225	263	156	419	447	17	156	182	187	369	382	
19	483	527	34	561	532	18	201	218	170	388	357	
20	225	300	139	439	342	19	189	215	172	387	487	
21	78	54	247	301	262	20	420	457	60	517	563	
22	72	48	252	300	382	26	174	208	175	383	398	
25	333	385	100	485	512	27	327	339	115	454	437	
27	285	295	142	437	488	28	153	194	181	375	378	
29	243	299	139	438	548	29	390	430	73	503	498	
30	138	175	197	372	293	30	102	116	217	333	291	
M	217	244	164	409	395	M	217	233	163	397	389	

TABELA 37 - Comparação entre os valores de $Q_j \times Q_e$ e $Q_h \times Q_e$ (em cal . cm⁻² . dia⁻¹), onde Q_e = radiação medida pelo Piranômetro Eppley ; Q_j = radiação estimada pelo método de OMET T0 (1968) ; Q_h = radiação estimada pelo método proposto. Piracicaba, SP. Janeiro, fevereiro e março de 1965.

Dias	JANEIRO			FEVEREIRO			MARÇO				
	Q_e	Q_j	Q_h	Dias	Q_e	Q_j	Q_h	Dias	Q_e	Q_j	Q_h
15 +	632	470	599	01	456	317	348	01 +	421	323	335
18	486	385	503	02 +	628	569	642	02 +	432	444	482
20 +	585	546	600	04	283	248	297	03 +	290	247	289
24	638	477	579	05 +	470	420	443	04 +	493	411	415
25	506	400	527	10	632	639	605	05	475	433	479
26	523	433	578	11	613	584	586	06 +	422	375	408
27 +	623	483	615	12	486	425	512	08	440	312	348
30 +	413	313	460	13 +	328	352	404	09 +	163	248	278
				14 +	287	302	355	16 +	326	263	307
				15 +	452	431	504	17 +	308	290	377
				17	636	564	623	18 +	394	404	444
				19	621	585	628	19 +	395	352	392
				20	434	377	464	20 +	525	470	487
				22 +	413	346	408	23 +	330	307	374
				23 +	407	386	474	24 +	437	392	466
				24 +	433	365	441	25 +	513	414	500
				25 +	423	363	430	26 +	374	354	421
				26 +	356	332	406				
				27 +	466	344	431				

Regressão	r ²	t	GL	Regressão	r ²	t	GL	Regressão	r ²	t	GL
$Q_j \times Q_e$	0,75	4,24**	6	$Q_j \times Q_e$	0,87	10,7**	17	$Q_j \times Q_e$	0,68	5,6**	15
$Q_h \times Q_e$	0,83	5,42**	6	$Q_h \times Q_e$	0,85	9,8**	17	$Q_h \times Q_e$	0,63	5,1**	15

(+) Dias nos quais houve ocorrência de precipitação
 (**) Significativo pelo teste t , ao nível de 1% de probabilidade

TABELA 38 - Comparação entre os valores de $Q_j \times Q_e$ e $Q_h \times Q_e$ (em cal . cm^{-2} . dia $^{-1}$) , onde Q_e = radiação medida pelo Piranômetro Eppley ; Q_j = radiação estimada pelo método de OMETTO (1968) ; Q_h = radiação estimada pelo método proposto. Piracicaba, SP. Abril, maio e junho de 1965.

Dias	ABRIL			MAIO			JUNHO				
	Q_e	Q_j	Q_h	Dias	Q_e	Q_j	Q_h	Dias	Q_e	Q_j	Q_h
06	445	464	441	04	409	337	372	08	237	187	214
09 +	267	290	299	05	457	417	443	10	208	186	209
13	439	492	448	06	407	366	392	11	162	168	199
20	464	480	451	10	286	236	263	12	241	259	243
21	418	372	399	12 +	170	195	177	18	298	308	282
25	448	421	425	13 +	238	287	300	19	272	294	272
26	320	274	330	15 +	145	173	174	22	173	206	207
27	297	296	330	16	404	342	418	23 +	230	227	244
28	339	331	389	19 +	245	228	212	25 +	271	282	263
				21	320	329	328				
				22 +	394	353	417				

Regressão	r^2	t	GL	Regressão	r^2	t	GL	Regressão	r^2	t	GL
$Q_j \times Q_e$	0,85	6,3**	7	$Q_j \times Q_e$	0,90	9,0**	9	$Q_j \times Q_e$	0,77	4,8**	7
$Q_h \times Q_e$	0,93	9,6**	7	$Q_h \times Q_e$	0,92	10,2**	9	$Q_h \times Q_e$	0,85	6,3**	7

(+) Dias nos quais houve ocorrência de precipitação

(**) Significativo pelo teste t , ao nível de 1% de probabilidade

TABELA 39 - Comparação entre os valores de $Q_j \times Q_e$ e $Q_h \times Q_e$ (em cal . cm⁻² . dia⁻¹) , onde Q_e = radiação medida pelo Piranômetro Eppley ; Q_j = radiação estimada pelo método de OMERTO (1968) ; Q_h = radiação estimada pelo método proposto. Julho , agosto e setembro de 1965.

Dias	JULHO			AGOSTO			SETEMBRO				
	Q_e	Q_j	Q_h	Dias	Q_e	Q_j	Q_h	Dias	Q_e	Q_j	Q_h
01	333	376	331	15	354	319	344	01	441	431	475
04 +	95	160	170	29	405	467	406	08	503	486	507
07 +	185	172	181					11	275	222	258
08	126	212	187					12	280	254	296
20	30	354	304					20	413	433	431
22	329	394	330					23	515	537	470
29	298	269	229					24	437	291	306
								25	471	451	418
								26 +	146	250	262
								28 +	350	351	328
								30	316	310	312
Regressão	r^2	t	GL	Regressão	r^2	t	GL	Regressão	r^2	t	GL
$Q_j \times Q_e$	0,82	4,8**	5	$Q_j \times Q_e$	-	-	-	$Q_j \times Q_e$	0,73	4,9**	9
$Q_h \times Q_e$	0,81	4,6**	5	$Q_h \times Q_e$	-	-	-	$Q_h \times Q_e$	0,71	4,7**	9

(+) Dias nos quais houve ocorrência de precipitação
 (**) Significativo pelo teste t , ao nível de 1% de probabilidade
 (-) Insuficiência de dados para análise estatística

TABELA 40 - Comparação entre os valores de $Q_j \times Q_e$ e $Q_h \times Q_e$ (em cal . cm⁻² . dia⁻¹) , onde Q_e = radiação medida pelo Piranômetro Eppley ; Q_j = radiação estimada pelo método de OMETTO (1968) ; Q_h = radiação estimada pelo método proposto. Piracicaba, SP. Outubro, novembro e dezembro de 1965.

Dias	OUTUBRO			NOVEMBRO			DEZEMBRO				
	Q_e	Q_j	Q_h	Dias	Q_e	Q_j	Q_h	Dias	Q_e	Q_j	Q_h
02 +	384	401	457	03	631	589	608	01 +	504	499	534
03	526	456	494	05	545	478	564	04 +	349	331	383
06	558	504	557	06	243	327	355	12 +	376	378	423
07	521	474	503	07 +	613	517	585	19 +	589	530	609
08	177	231	326	09 +	437	409	464	20	688	620	657
09 +	404	389	463	10	604	581	579	23	416	348	386
17	573	503	553	12	370	287	348	24	539	359	409
18	281	269	334	13 +	429	390	438	25 +	535	495	554
20 +	569	499	552	14 +	372	343	401	26 +	293	263	299
21 +	512	398	432	15 +	601	601	596	28 +	468	470	536
25	386	371	431	16	542	511	562	29 +	272	288	308
28	350	245	329	17	544	522	548				
29	262	253	332	20	540	534	565				
				21	453	469	458				
				23	635	694	630				
				28 +	424	459	508				
				29 +	580	571	577				
Regressão	r^2	t	GL	Regressão	r^2	t	GL	Regressão	r^2	t	GL
$Q_j \times Q_e$	0,89	9,4**	11	$Q_j \times Q_e$	0,83	8,6**	15	$Q_j \times Q_e$	0,82	6,2**	9
$Q_h \times Q_e$	0,84	7,6**	11	$Q_h \times Q_e$	0,91	12,3	15	$Q_h \times Q_e$	0,83	6,6**	9

(+) Dias nos quais houve ocorrência de precipitação

(**) Significativo pelo teste t , ao nível de 1% de probabilidade

DEZEMBRO

TABELA 41 - Comparação entre os valores de $Q_n \times Q_e$ e $Q_h \times Q_e$ (em $\text{cal} \cdot \text{cm}^{-2} \cdot \text{dia}^{-1}$), onde Q_e = radiação medida pelo Piranômetro Eppley; Q = radiação estimada pelo método do RIBEIRO *et alii* (1980); Q_h = radiação estimada pelo método proposto. Manaus, AM.
Janeiro, fevereiro e março de 1978.

Dias	JANEIRO						FEVEREIRO						MARCÃO					
	Q_e	Q_h	Q_n	Dias	Q_e	Q_h	Dias	Q_e	Q_h	Dias	Q_e	Q_h	Dias	Q_e	Q_h	Q_n		
01	210	242	219	01	347	309	299	02	+	377	401	387						
03 +	320	252	213	02 +	146	257	203	05 +		208	327	311						
05 +	247	263	219	03 +	165	248	185	06		619	492	571						
10 +	237	296	297	06 +	189	255	211	12		589	574	592						
12	314	384	360	07 +	350	406	408	15 +		295	350	363						
13	447	395	392	08 +	147	256	205	16 +		343	348	309						
15	533	537	532	09 +	160	249	198	20 +		223	237	171						
17	297	274	240	10	334	405	389	22 +		289	325	280						
18	377	379	423	12 +	256	280	251	23 +		297	272	237						
19 +	144	308	266	13	409	298	277	24 +		289	351	322						
20 +	287	334	321	15	224	309	266	25 +		485	467	511						
22	395	313	279	16 +	213	295	207	27		380	369	376						
23 +	472	453	477	17 +	268	332	322	28 +		184	258	190						
24 +	244	281	255	18 +	364	352	297	30 +		135	246	207						
26 +	340	300	263	19 +	418	406	437	31 +		311	354	352						
27 +	379	391	401	20 +	338	319	257											
29 +	323	350	309	24 +	302	283	254											
				25	250	316	261											
				26	182	263	207											
				28	466	397	360											

(+) Dias nos quais houve ocorrência de precipitação

(**) Significativo pelo teste t, ao nível de 1% de probabilidade

Regressão	r^2	t	GL	Regressão	r^2	t	GL	Regressão	r^2	t	GL
$Q_n \times Q_e$	0,65	5,27**	15	$Q_n \times Q_e$	0,65	5,78**	18	$Q_n \times Q_e$	0,87	9,32**	13
$Q_h \times Q_e$	0,63	5,06**	15	$Q_h \times Q_e$	0,65	5,78**	18	$Q_h \times Q_e$	0,88	9,77**	13

TABELA 42 - Comparaçāo entre os valores de $Q_h \times Q_e$ e $Q_h \times Q_e$ (em $\text{cal} \cdot \text{cm}^{-2} \cdot \text{dia}^{-1}$), onde Q_e = radiação medida pelo Piranômetro Eppley ; Q_h = radiação estimada pelo mētodo de REBEIRO *et alii* (1980) ; Q_h = radiação estimada pelo mētodo proposto. Manaus, AM. Abril, maio e junho de 1978.

ABRIL				MAIO				JUNHO			
Dias	Q _e	Q _n	Q _h	Dias	Q _e	Q _n	Q _h	Dias	Q _e	Q _n	Q _h
04	383	376	344	03 +	223	227	240	02 +	303	295	388
05	480	338	324	04 +	324	284	276	03 +	315	215	354
06	552	532	550	05 +	216	243	233	04 +	437	426	472
07 +	380	399	436	06 +	342	341	364	08	358	310	402
11 +	474	432	446	07 +	375	322	366	09 +	412	325	421
12	429	321	339	08 +	449	365	471	10 +	387	357	424
15 +	172	281	230	09 +	177	220	235	12	497	400	452
16 +	244	246	199	10	292	270	304	13	410	274	379
17	285	367	337	12 +	259	249	234	14 +	285	258	390
19 +	127	273	228	13 +	498	473	486	16	497	429	474
21	198	297	312	14 +	219	269	301	18 +	298	220	368
22 +	220	233	203	15 +	348	311	349	20	498	497	494
23 +	393	375	402	16 +	274	288	283	22	474	375	453
24 +	444	442	475	17	450	444	477	23 +	368	295	385
26	448	416	454	18 +	524	516	511	26	497	411	454
27	549	490	484	19 +	337	331	326	29	499	449	467
28	220	309	314	20 +	302	251	270				
29	382	352	398	21 +	171	231	233				
30	401	399	393	22	412	245	266				
				24 +	358	309	395				
				25 +	446	403	425				
				26 +	336	255	287				
				27 +	433	349	395				
				29 +	163	402	447				
				30	275	322	375				
				31 +	271	297	333				
Regressão	r ²	t	GL	Regressão	r ²	t	GL	Regressão	r ²	t	GL
$Q_n \times Q_e$	0,72	6,62**	17	$Q_n \times Q_e$	0,74	8,26**	24	$Q_n \times Q_e$	0,79	7,26**	14
$Q_h \times Q_e$	0,72	6,62**	17	$Q_h \times Q_e$	0,74	8,49**	24	$Q_h \times Q_e$	0,78	7,04**	14

TABELA 43 - Comparação entre os valores de $Q_n \times Q_e$ e $Q_h \times Q_e$ (em cal . cm⁻² . dia⁻¹), onde Q_e = radiação medida pelo Piranômetro Eppley ; Q_n = radiação estimada pelo método de RI-
BEIRO *et alii* (1980) ; Q_h = radiação estimada pelo método proposto. Manaus, AM.
Julho, agosto e setembro de 1978.

Dias	JULHO			AGOSTO			SETEMBRO				
	Q_e	Q_n	Q_h	Dias	Q_e	Q_n	Q_h	Dias	Q_e	Q_n	Q_h
01	503	408	477	01 +	308	330	326	01	549	546	567
03 +	102	205	332	02	433	441	416	03	549	524	567
04 +	462	249	420	08	553	549	552	05 +	378	390	427
05 +	329	368	412	11	553	555	551	06 +	513	307	367
06	493	408	546	12 +	472	452	459	07 +	522	381	437
07	482	362	432	13 +	494	463	511	08 +	558	511	567
08	467	377	461	14	247	233	236	09 +	377	318	371
10	408	308	397	15	464	454	459	10 +	308	262	306
11 +	192	203	321	18	388	404	421	13	454	379	424
14	499	457	499	21	428	409	422	18	532	446	524
16	499	457	488	22	489	504	486	21	573	532	571
18	499	494	475	29	533	551	540	22	283	493	556
21	373	371	428					24 +	131	244	277
23	508	464	490								
27	368	425	419								
28 +	378	363	415								
30	328	250	343								
31 +	408	351	420								
Regressão	r^2	t	GL	Regressão	r^2	t	GL	Regressão	r^2	t	GL
$Q_n \times Q_e$	0,59	4,80**	16	$Q_n \times Q_e$	0,97	18,0**	10	$Q_n \times Q_e$	0,67	4,73**	11
$Q_h \times Q_e$	0,72	6,42**	16	$Q_h \times Q_e$	0,98	22,2**	10	$Q_h \times Q_e$	0,74	5,59**	11

(+) Dias nos quais houve ocorrência de precipitação

(**) Significativo pelo teste t , ao nível de 1% de probabilidade

TABELA 44 - Comparação entre os valores de $Q_n \times Q_e$ e $Q_h \times Q_e$ (em cal . cm⁻² . dia⁻¹), onde Q_e = radiação medida pelo Piranômetro Eppley ; Q_n = radiação estimada pelo método de RIBEIRO et alii (1980) ; Q_h = radiação estimada pelo método proposto. Manaus, AM.

Outubro, novembro e dezembro de 1978.

Dias	OUTUBRO					NOVEMBRO					DEZEMBRO				
	Q_e	Q_n	Q_h	Dias	Q_e	Q_n	Q_h	Dias	Q_e	Q_n	Q_h	Dias	Q_e	Q_n	Q_h
01	547	430	503	02	193	310	332	02	392	371	403	03	493	343	388
02	428	436	483	03	515	421	490	03	493	343	388	04	444	442	336
04 +	482	480	525	06	497	372	444	04	442	336	356	07	453	07 +	207
05 +	453	401	466	07	493	397	453	07 +	433	353	377	08	249	294	234
06 +	268	361	381	08	196	249	294	08 +	433	353	377	09 +	302	09 +	446
07 +	253	282	337	09 +	167	261	302	09 +	446	419	464	10 +	320	320	390
08 +	372	293	325	10 +	457	394	445	10 +	320	390	435	11 +	396	449	344
12 +	327	268	318	11 +	509	396	449	13 +	237	283	344	13	344	313	374
13	608	584	601	13	247	296	344	14 +	313	374	392	14	344	313	374
16	378	359	385	14	600	535	578	15	518	426	467	15	288	16 +	197
17 +	523	512	559	15	211	248	288	16 +	197	265	318	16	363	17 +	382
18	538	429	476	16 +	447	363	419	17 +	382	317	369	17	561	18 +	357
19	603	574	597	19	532	514	561	18 +	357	343	388	20	300	26	398
22 +	462	420	460	20	342	361	439	19	487	336	387	21	262	275	301
27	612	575	607	21	262	275	301	20 +	563	470	517	22	382	271	300
30	417	383	410	22	382	271	300	26	398	328	383	23	512	424	485
				25	512	424	485	27 +	437	417	454	26	488	395	437
				27	488	395	437	28	378	316	375	28	548	370	438
				29	548	370	438	29	498	453	503	29	309	372	30 +
				30	293	309	309	30 +	291	286	333	30	372	30 +	291

Regressão	r^2	t	GL	Regressão	r^2	t	GL	Regressão	r^2	t	GL
$Q_n \times Q_e$	0,80	7,48**	14	$Q_n \times Q_e$	0,75	7,35**	18	$Q_n \times Q_e$	0,64	5,31**	18
$Q_h \times Q_e$	0,84	8,58**	14	$Q_h \times Q_e$	0,78	7,99**	18	$Q_h \times Q_e$	0,59	5,09**	18

(+) Dias nos quais houve ocorrência de precipitação

(**) Significativo pelo teste t , ao nível de 1% de probabilidade

TABELA 45 - Valores utilizados de declinação (δ) e constante solar (I_0) no décimo quinto dia de cada mês

Meses	δ (graus)	I_0 (cal.cm $^{-2}.\text{min}^{-1}$)
Janeiro	- 21,26	2,00
Fevereiro	- 12,97	1,98
Março	- 2,47	1,96
Abril	+ 9,45	1,92
Maio	+ 18,65	1,89
Junho	+ 23,26	1,87
Julho	+ 21,27	1,88
Agosto	+ 14,32	1,92
Setembro	+ 3,37	1,92
Outubro	- 8,18	1,95
Novembro	- 18,52	1,98
Dezembro	- 23,22	2,00

TABELA 46 - Valores utilizados do ângulo horário médio (h) no tempo (t) considerado

t (horas)	h (graus)
6,5	82,5
7,5	67,5
8,5	52,5
9,5	37,5
10,5	22,5
11,5	7,5
12,5	7,5
13,5	22,5
14,5	37,5
15,5	52,5
16,5	67,5
17,5	82,5